# MANAJEMEN ENERGI MS-6112 – 2 SKS

#### Oleh:

Dr. Nita C.V. Monintja, ST., MT. NIP.: 19651119199412201



# JURUSAN TEKNIK MESIN FAKULTAS TEKNIK UNIVERSITAS SAM RATULANGI MANADO

#### MANAJEMEN ENERGI

Rancang Sampul : Art Division Unsrat Press

Judul Buku : **MANAJEMEN ENERGI** 

Penulis : **DR. NITA C.V. MONINTJA, ST., MT.** 

Penerbit : Unsrat Press

Jl. Kampus Unsrat Bahu Manado 95115

Email : percetakanunsrat@gmail.com

ISBN : 978-602-52426-2-5

#### Cetakan Pertama 2019

Dilarang mengutip dan atau memperbanyak tanpa izin tertulis dari penerbit sebagian atau seluruhnya dalam bentuk apa pun baik cetak, fotoprint, mikrofilm dan sebagainya.

#### **KATA PENGANTAR**

Buku Manajemen Energi ini disusun sesuai dengan kurikulum mata kuliah Manajemen Energi di Jurusan Teknik Mesin Fakultas Teknik Universitas Sam Ratulangi Manado. Mata kuliah Manajemen Energi (MS-6112) dengan bobot 2 sks adalah mata kuliah yang diberlakukan pada kurikulum Jurusan Teknik Mesin 2018/2019.

Adapun mata kuliah ini adalah salah satu mata kuliah pilihan wajib pada peminatan teknik konversi energi yang terdapat di semester VI Program Studi S1 Teknik Mesin, Jurusan Teknik Mesin Fakultas Teknik Unsrat Manado. Melalui buku ini, diharapkan mahasiswa dapat lebih memahami serta lebih banyak mendapatkan pengetahuan mengenai Manajemen Energi.

Buku Manajemen Energi ini terdiri dari 4 (empat) bab, yaitu: (I). Pendahuluan; (II). Metode Pinch; (III). Trade Off antara Energi Terhadap Biaya Kapital; dan (IV). Strategi Perencanaan.

Penulis menyampaikan banyak terima kasih kepada semua pihak yang sudah terlibat dalam memberi masukan dalam penyelesaian penulisan buku Manajemen Energi ini. Penulis menyadari bahwa isi maupun penyajian buku ini masih banyak kekurangan serta masih jauh dari sempurna, untuk itu melalui kesempatan ini penulis menginginkan adanya masukan dan kritik dari berbagai pihak yang bersifat membangun untuk penyempurnaan buku Manajemen Energi ini. Semoga buku Manajemen Energi ini akan mencapai tujuan yang diharapkan dan bermanfaat bagi anak didik kita di bidang teknik mesin.

Manado, September 2019

Dr. Nita C.V Monintja, ST, MT Fakultas Teknik Universitas Sam

# **DAFTAR ISI**

| KATA P | ENGANTAR                        | iii  |
|--------|---------------------------------|------|
| DAFTAF | R ISI                           | V    |
| DAFTAF | R NOTASI                        | vii  |
| DAFTAF | R TABEL                         | viii |
| DAFTAF | R GAMBAR                        | ix   |
|        |                                 |      |
| BAB 1  | PENDAHULUAN                     | 1    |
| 1.1.Pa | andangan Umum                   | 2    |
| 1.2.Pe | erkembangan Metode Pinch        | 5    |
| 1.3.Pe | emanfaatan pada Industri        | 7    |
|        |                                 |      |
| BAB 2  | METODE PINCH                    | 11   |
| 2.1.Er | nergi Target                    | 13   |
| 2.     | 1.1.Kurva Komposit              | 21   |
| 2.     | 1.2.Problem Tabel               | 30   |
| 2.2.M  | aximum Energi Recovery          | 36   |
| 2.     | 2.1.Representasi Heat Exchanger |      |
|        | Networks                        | 37   |
| 2.2.   | 2. Desain untuk Maximum Energy  |      |
|        | Recovery                        | 39   |

| BAB 3 TRADE OFF ANTARA ENERGY TER          | RHADAP |
|--|--------|
| BIAYA KAPITAL                              | 51     |
| 3.1. Jumlah Minimum Unit                   | 52     |
| 3.2.Loop dalam Sistem                      | 56     |
| 3.3. Trade Off Unit Terhadap Biaya Kapital | 58     |
| 3.4. Ketentuan $\Delta$ Tmin               | 67     |
|  |        |
| BAB 4 STRATEGI PERENCANAAN                 | 71     |
| 4.1. Pemecahan Aliran (Stream Split)       | 72     |
| 4.2. Perencanaan Untuk Daerah Jauh Dari    |        |
| Pinch                                      | 80     |
| 4.3. Pemilihan Aliran                      | 85     |
|  |        |
| SOAL LATIHAN                               | 91     |
| DAFTAR PUSTAKA                             | 97     |

#### **DAFTAR NOTASI**

CP Heat Capacity Flowrate [kW/OC]

*C<sub>p</sub>* Specific Heat [kJ/kg. <sup>O</sup>C]

 $h_{f,q}$  panas laten pengupan [J/Kg]

m Mass-flow [kg/dtk]

N Jumlah total aliran

N<sub>HOT</sub> Jumlah cabang aliran panas

N<sub>COLD</sub> Jumlah cabang aliran dingin

Q<sub>H</sub> Daya Heater [kW]

 $T_a$  temperatur udara luar [ ${}^{\circ}$ C]

T<sub>0</sub> Temperatur keluar *Heat Exchanger* [<sup>O</sup>C]

T<sub>s</sub> Temperatur Suplai [<sup>O</sup>C]

T<sub>t</sub> Temperatur Target [<sup>O</sup>C]

U<sub>min</sub> Jumlah minimum unit

△H Perubahan Entalpi [kW]

△T Perubahan temperatur [<sup>O</sup>C]

# **DAFTAR TABEL**

| Tabel 2-1 | Data Proses | 30 |
|-----------|-------------|----|
|-----------|-------------|----|

# **DAFTAR GAMBAR**

| Gbr 2.1   | Kurva Komposit14                      |
|-----------|---------------------------------------|
| Gbr 2.2   | Karakteristik Pertukaran panas pada   |
|           | Sistem16                              |
| Gbr 2.3   | Konstruksi kurva komposit22           |
| Gbr 2.4   | Pinch dan Energy Target pada kurva    |
|           | Komposit25                            |
| Gbr 2.5   | Pertukaran panas dua aliran dalam T-H |
|           | diagram27                             |
| Gbr 2.6   | Analisa interval temperatur31         |
| Gbr 2.7   | Problem Table34                       |
| Gbr 2.8   | Representase Heat Exchanger           |
|           | <i>Network</i> 38                     |
| Gbr 2.9   | Daftar aliran yang menunjukkan        |
|           | <i>Pinch</i> 39                       |
| Gbr. 2.10 | Perencanaan Bagian atas Pinch41       |
| Gbr. 2.11 | Desain bagian bawah Pinch46           |
| Gbr. 2.12 | Desain lengkap Heat Exchanger         |
|           | <i>Network.</i> 49                    |
| Gbr. 3.1  | Ilustrasi desain dengan jumlah unit   |
|           | Minimum52                             |

#### Manajemen Energi(MS-6112)

| Gbr. 3.2 | Prinsip-prinsip persamaan subset55    |
|----------|---------------------------------------|
| Gbr. 3.3 | Prinsip-prinsip <i>Loop</i> 57        |
| Gbr. 3.4 | Pemecahan Loop59                      |
| Gbr. 3.5 | Desain pengenduran energy61           |
| Gbr. 3.6 | Loop dan Path yang kompleks65         |
| Gbr. 3.7 | Pengaruh nilai $\Delta T_{min}$ 68    |
| Gbr. 3.8 | Threshold problem70                   |
| Gbr 4.1  | Metode pemecahan aliran73             |
| Gbr 4.2  | Diagram alir prosedur pemecahan       |
|          | Aliran75                              |
| Gbr 4.3  | Pemecahan aliran dengan menggunakan   |
|          | tabel CP                              |
| Gbr 4.4  | Desain setelah pemecahan aliran79     |
| Gbr 4.5  | Perencanaan jauh dari <i>Pinch</i> 82 |
| Gbr 4.6  | Pemilihan Aliran86                    |
| Gbr 4.7  | Penentuan aliran Mixing88             |
| Gbr 4.8  | Penentuan aliran spliting89           |

|      |       |        | ·/=   | ***  | 11 | 101 |
|------|-------|--------|-------|------|----|-----|
| Mana | 10mon | Energy | 1 ( A | 4.N- | hΙ | 121 |
|      |       |        |       |      |    |     |

## BAB 1

#### **PENDAHULUAN**

1.1. PANDANGAN UMUM

Manusia sejak awal sejarah tidak pernah terlepas dari pemakaian energi untuk menunjang kelangsungan hidup dalam berbagai bentuk aktivitas kehidupan. Energi tersebut didapatkan dari berbagai macam sumber energi yang terus menerus mengalami peningkatan dalam jumlah dan jenisnya. Manusia pra-sejarah menggunakan kayu sebagai sumber energi yang digunakan untuk keperluan memasak serta pemanasan dalam menahan temperatur yang dingin.

Kemudian pada awal sejarah, manusia mulai dapat memanfaatkan sumber daya alam lainnya antara lain energi angin. Energi angin dimanfaatkan untuk pengangkutan, yaitu sebagai daya dorong pada kapal layar. Kemudian mulailah dimanfaatkan sumber energi air yang digunakan sebagai penggerak kincir untuk keperluan pertukangan dan penggilingan.

Pemanfaatan ketiga sumber energi tersebut terus berlangsung dengan berbagai variasi dan ragam penggunaannya sampai sekitar awal abad ke-13 suatu bentuk sumber energi baru diketemukan yaitu batubara yang memperkaya spektrum jenis-jenis sumber energi yang ada. Pemakaian batubara hanya sebatas keperluan

memasak dan pemanasan dalam rumah. Baru setelah pada awal abad ke-18, setelah diketemukan mesin uap yang menggunakan batabara sebagai sumber energi. Dengan menggunakan mesin uap ini, maka mulailah suatu babak baru yang dikenal dengan nama Revolusi Industri. Dimulai pada saat ini dan pada masa-masa berikutnya bermunculah mesin-mesin industri baru dan mekanisasi dalam banyak bidang kehidupan sehingga benar-benar membuat perkembangan industri melaju dengan cepat.

Keadaan tersebut kemudian disusul dengan munculnya minyak bumi yang banyak digunakan dalam bidang pemanasan serta untuk penerangan. Seiring dengan ditemukannya mesin-mesin dan teknologi baru, maka pada awal abad ke-20 sampai saat ini minyak bumi terus digunakan sebagai sumber energi bagi motor bakar untuk pembangkit tenaga listrik maupun sebagai sarana transportasi. Sedangkan penggunaan batubara semakin terbatas pada stasiun pembangkit tenaga tenaga uap atau sebagai bahan bakar untuk ketel uap serta bahan baku pembuatan kokas yang diperlukan dalam pengerjaan Namun demikian yang harus segera disadari logam.

adalah bahwa suatu saat sumber-sumber minyak dan gas bumi akan habis.

Dengan semakin berkembangnya industri dan semua bidang kehidupan, maka kebutuhan akan energi semakin meningkat dengan sangat pesat. Untuk menjawab tuntutan tersebut, maka mulailah dikembangkan penelitian dan uji mengembangkan coba untuk dan meningkatkan performance serta tingkat efisiensi mesin-mesin yang mengkonsumsi bahan bakar minyak bumi, gas bumi maupun batabara atau bahan bakar lainnya. tersebut semakin ditingkatkan intesitasnya sejak tahun 1974, dimana pada tahun tersebut terjadi apa yang dinamakan dengan krisis energi. Sejak saat itu dunia memasuki babak baru dalam perkembangannya, karena zaman energi murah telah berakhir dan digantikan dengan masa-masa mahalnya energi, serta manusia mulai menyadari bahwa tidak selamanya dapat bergantung pada sumber energi batubara, minyak bumi maupun gas bumi yang pada suatu saat tentunya akan habis, untuk itu tidak ada pilihan lain dalam mencari sumber energi alternatif lainnya, yaitu sumber energi baru yang dapat diperbaharui (renewable energy). Tidak kurang dari enam sumber energi baru yang dapat diperbaharui mulai dikembangkan, yaitu energi radiasi surya, energi pasang surut, energi panas laut, energi gelombang laut, energi hidrogen dan energi fusi nuklir.

Energi-energi tersebut diatas karena sifatnya dapat diperbaharui, maka sumber cadangannya sangat melimpah serta murah, akan tetapi dari segi teknologi sangat mahal.

#### 1.2. PERKEMBANGAN METODE PINCH

Pada akhir-akhir ini telah dikembangkan suatu disiplin ilmi yang membahas mengenai upaya penghematan energi. ilmu ini tidak hanya memfokuskan bahasan bagaimana cara memaksimalkan mengenai tingkat efisiensi dan unjuk kerja suatu mesin, akan tetapi difokuskan pada usaha bagaimana mencari suatu tindakan yang tepat dan baik dalam rangka menggunakan dan mendistribusikan energi tersebut secara baik dan efisiensi didalam suatu plant industri, atau secara singkat dapat dikatakan, bagaimana managemen pemakaian energi yang baik, sehingga dalam pemakainnya dapat dihindarkan adanya kehilangan-kehilangan yang sebenarnya tidak perlu terjadi dan dapat pula dihindarklan pemakaian yang boros.

Jadi sistem manajemen energi tersebut dapat dikatakan suatu manajemen yang menganalisis efisiensi plant secara keseluruhan atau pada satu bagian besar dimana proses antara satu peralatan dengan peralatan lainnya saling terkait dan berhubungan. Khususnya pada industri-industri yang dalam prosesnya banyak menggunakan uap dan reaksi-reaksi kimia sebagai produknya.

Sistem manajemen energi yang sudah dikembangkan sampai saat ini meliputi Sistem Energy Auditing dan Metode Pinch (Metode Linhoff). Metode Pinch dalam buku bahan ajar ini adalah metode yang digunakan untuk merencanakan suatu desain aliran proses dan sistem heat exchanger network yang dapat menghasilkan suatu desain memaksimalkan Energy Recovery, untuk sehingga penghematan energi dalam plant diperoleh. Metode Pinch pada bagaimana akan mengarah menyusun dan menempatkan suatu peralatan/unit yang meliputi air preheater, water preheater, air and water heater, burner, cooling tower, reaktor.

Metode *Pinch* pada prinsipnya adalah penerapan hukumhukum termodinamika secara praktis dan simpel. Penerapan Metode *Pinch* untuk menyusun pola suatu jaringan aliran proses dan heat exchanger networks dalam suatu industri plant yang akan menjadi penting, mengingat konsumsi yang demikian besar akan sumber-sumber energi minyak bumi, gas bumi serta batubara, yang sampai saat ini belum dapat digantikan dengan sumber energi alternatif lainnya. Sementara dalam hal efisiensi, suatu industri plant tidak hanya bergantung pada masing-masing alat yang digunakan secara terpisah, akan tetapi suatu industri plant sangat bergantung juga pada efisiensi susunan jaringan dari seluruh unit yang dioperasikan. Efisiensi suatu industri plant dianggap tinggi jika heat recovery yang diperoleh maksimum, karena dengan demikian maka kebutuhan akan sumber energi sebagai masukan awal menjadi berjurang.

#### 1.3. PEMANFAATAN PADA INDUSTRI

Salah satu pemanfaatan manajemen energi adalah pada industri baja, yaitu pada direct reduction plant yang mengolah bijih besi (pellet) menjadi besi spons yang menjadi bahan baku utama bagi proses peleburan yang akan menghasilkan baja batangan berupa billet maupun slab, yang selanjutnya akan diolah menjadi produk-produk

yang sesuai dengan permintaan pasar seperti *wireroad* maupun baja lembaran.

Didalam proses produksi pengolahan bijih besi menjadi besi spons tersebut, direct reduction plant banyak menggunakan peralatan-peralatan penukar kalor serta ketel uap. Peralatan-peralatan tersebut meliputi air preheater dan air heater, water preheater dan water heater, burner, pemanas uap lanjut internal cooler, cooling tower, serta reaktor, dan prosesnya banyak menggunakan reaksireaksi dan perhitungan kimia.

Secara garis besar proses-proses tersebut adalah sebagai Tujuan utama dari proses sebenarnya adalah berikut: reduksi kandungan oksigen (O<sub>2</sub>) yang ada pada bijih besi, sehingga pada akhir proses dari besi spons yang dihasilkan diharapkan memiliki prosentase Fe mencapai 98%. Untuk dapat menghasilkan reduksi tersebut, maka diperlukan gas reaktor, gas ini merupakan hasil pembentukan dari reaksi gas alam (CH<sub>4</sub>) dengan uap air. Dari hasil reaksi ini didapat gas reduksi tang banyak mengandung CO dan H<sub>2</sub>, sedangkanreaksi itu sendiri terjadi di dalam reformer yang menggunakan Nikel sebagai katalis. Setelah itu gas proses/reduktor ini dipanaskan hingga mencapai temperatur 800°C. sebelum gas tersebut digunakan untuk mereduksi bijih besi yang ada di dalam reaktor, maka pada saat akan masuk reaktor diijeksikan udara panas dengan temperatur 720°C. injeksi udara panas ini akan meningkatkan temperatur gas reaktor 1040°C - 1080°C sesuai dengan temperatur yang diinginkan dalam proses reduksi bijih besi agar dicapai metalisasi yang baik, sehingga pada akhir proses reduksi target kandungan Fe didapat 98% dalam besi spons tercapai.

Untuk memanaskan gas reduktor, udara dan air untuk menghasilkan uap dipakai beberapa burner, dimana sebagai bahan bakar burner digukan gas alam bekas yang telah dipakai untuk proses reduksi. Agar terjadi keseimbangan antara input energi dengan hasil yang diperoleh (output), maka masalah yang benar-benar harus diperhatikan adalah permasalahan efisiensi, terutama efisiensi panas seluruh sistem disamping efisiensi masingmasing mesin dan penukar kalor. Untuk itu akan menjadi sangat bermanfaat jika direncanakan suatu bentuk heat exchanger network pada industri plant pengolahan bijih

besi, mengingat aliran proses yang digunakan memerlukan pemanasan dan pendinginan berulang-ulang.

### BAB 2

#### METODE PINCH

Dalam perencanaan sebuah industrial-plant terutama untuk industrial plant yang banyak menggunakan reaksi kimia, terdapat dua masalah perencanaan keteknikan. Pertama;

adalah perencanaan masing-masing unit operasi seperti ketel uap, burner, heat exchanger, dan lainnya. Pada perencanaan ini masalah unjuk kerja dan karakteristik tiaptiap unit merupakan hal pokok yang harus diperhatikan. Kedua; adalah masalah perencanaan sistem secara keseluruhan pada industrial plant tersebut, atau yang lebih dikenal dengan sebuah istilah *networks*.

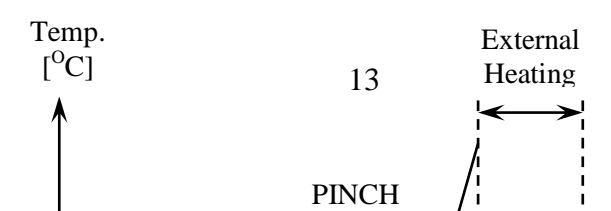
Sebelum dikenal ilmu manajemen energi, seorang insinyur teknik dalam mendesain sistem hanya berdasarkan pengalaman yang diperoleh melalui proses belajar bertahun-tahun di lapangan, kesimpulannya seorang insinyur teknik tidak mempunyai suatu metode atau persamaan yang jelas serta sistimatis sehingga desain networks daris sistem industrial plant yang optimal sangat sukar didapatkan.

Pada tahun 1982, Prof. B. Linhoff menemukan sebuah konsep "Pinch" yang tepat untuk mendesain sistem, dan kemudian dikenal sebagai "Metoda Pinch". Karena metoda yang digunakan sangat sistematis serta konsep-konsep yang digunakan sangat jelas, maka dari metoda ini akan didapatkan sebuah desain yang optimum dimana sistem tersebut menggunakan energi minimum. Metoda ini

kemudian berkembang menjadi metoda desain yang mempertimbangkan antara biaya kapital (capital cost) terhadap biaya energi (energy cost) untuk mencari biaya total yang optimum. Karena metoda ini pada dasarnya merupakan hasil penerapan termodinamika secara simpel, maka bila metoda ini diterapkan akan menghasilkan sebuah desain dengan pencapaian Energy Recovey yang maksimum.

#### 2.1. ENERGI TARGET (TARGETTING ENERGY)

Salah satu yang perlu diketahui untuk merencanakan sebuah "MER" (Maximum Energy Recovery) adalah "Composite Curve". yaitu sebuah kurva yang menggambarkan suatu aliran proses yang membutuhkan pendinginan atau dengan satu istilah "hot stream", dan aliran proses yang membutuhkan pemanasan "cold stream". Kedua aliran proses tersebut adalah dari sistem secara keseluruhan. Dalam suatu proses perubahan energi, dapatlah dibuat sebuah kurva komposit seperti digambarkan pada gambar 2-1.



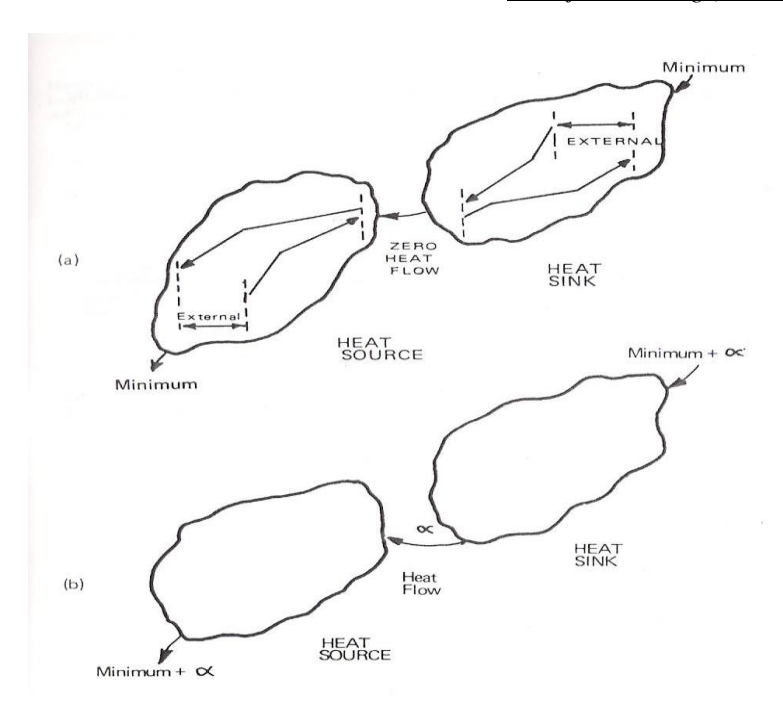
Gambar 2-1: Kurva Komposit

Sumber: B. Linnhoff, 1985

Pada dasarnya aliran panas dan aliran dingin dalam sebuah proses dapat diwakili oleh sebuah grafik

Temperatur-Entalpi (T-H grafik), dimana temperatur input dan output serta *flowrate* diketahui. Karena sifat alami dari sebuah kurva, maka kedua proses aliran tersebut akan saling mendekat sampai sedekat mungkin pada satu titik. Pada daerah yang mempunyai jarak terdekat dari kurva disebut sebagai "*Pinch*". Temperatur dimana terjadinya *Pinch* ini disebut sebagai temperatur *pinch*, sedangkan beda temperatur minimum antara aliran panas dan aliran dingin dinamakan  $\Delta T_{min}$ .

Pinch mempunyai peranan sangat penting dalam sebuah heat exchanger network, ini disebabkan karena pinch membagi proses menjadi dua bagian yang terpisah secara termodinamika. Pada gambar 2-2a, sistem ditunjukkan secara terpisah pada pinch. Pada bagian diatas pinch, komposit panas memberikan semua panasnya untuk memenuhi sisa kebutuhan pemanasan oleh komposit dingin, karena itu sistem diatas pinch ini merupakan sebuah proses "heat sink" (pelepasan panas).



Gambar 2-2: Karakteristik Pertukaran Panas pada Sistem Sumber: B. Linnhoff, 1985

Sebaliknya, bagian di bawah *Pinch* adalah merupakan sebuah "heat source" (sumber panas), karena panas keluar dari sistem tersebut ke cold utility tetapi tidak ada panas masuk ke dalam sistem. Jadi di dalam sebuah desain yang disebut sebagai sebagai target minimum utility yaitu external heating dan external cooling —nya minimum tercapai, maka aliran panas yang menyeberangi *Pinch* 

adalah "nol". Pada gambar 2-2b, menunjukkan sebuah kasus dimana target minimum utility (external heating dan external cooling minimum) tidak tercapai. Dimana external heating lebih dari kemungkinan minimum sebesar  $\alpha$ . dengan kesetimbangan panas sekeliling heat source dan heat sink, didapat bahwa terdapat aliran panas sebesar  $\alpha$  yang melewati *Pinch* sehingga terjadi kelebihan pada kebutuhan external cooling sebesar  $\alpha$ .

Hot overshoot pada gambar 2-1 adalah merupakan jumlah external cooling minimum yang diperlukan dan cold overshoot merupakan jumlah minimum external heating yang diperlukan. Sedangkan overlap antara aliran panas dengan aliran dingin akan merupakan jumlah maximum heat recovery yang mungkin terjadi dalam proses.

Dari pembahasan-pembahasan tentang kurva komposit dan *Pinch* diatas, secara sederhana dan efektif dapat diberikan 5 konsep, antara lain:

#### ◆ Target;

Setelah kurva komposit tersusun, maka akan diketahui secara tepat berapa jumlah *external* heating yang akan dibutuhkan sehingga prosesproses yang paling mendekati optimum dapat

diperoleh dan proses-proses yang tidak optimum dapat diketahui dengan tepat dan meyakinkan.

#### ♦ Pinch;

Pinch membagi sistem (proses) menjadi dua bagian, antara lain: diatas Pinch, dimana proses memerlukan external heating dan dibawah Pinch, dimana proses memerlukan external cooling. Hal ini dapat memberitahukan dimana harus meletakkan furnace, steam heater, cooler dan unit-unit lainnya. Hal ini juga memberitahukan bagaimana cara melakukan heat recovery dari exhaust.

#### ♦ More in, More out,

Proses dikatakan efisien adalah proses yang menggunakan external heating dan external cooling yang minimum. Sebaliknya proses yang tidak efisien membutuhkan external heating dan external cooling lebih dari minimum. Kalimat More in, More out dapat diartikan: bila energi masuk lebih dari yang dibutuhkan, maka kelebihan tersebut akan dikeluarkan kembali sesuai dengan jumlah semula. Perlu dicatat

bahwa untuk setiap unit dari kelebihan *external* heat dalam sebuah proses haruslah disediakan peralatan heat transfer sebanyak dua kali.

#### Freedom of choise;

Dengan adanya konsep *pinch*, maka *heat sink* dan *heat source* dapat dipisahkan, untuk itu seorang perencana dapat bebas dalam memilih layout plant atau susunan kontrol. Jika terpaksa dilanggar karena suatu hal, maka perencana dapat memperkirakan kerugian-kerugian apa yang akan terjadi dan menjadi tanggungannya.

#### ♦ Trade off;

Trade off dapat dilakukan antara energy recovery dengan jumlah unit-unit (heat exchanger, heater dan cooler). Ada sebuah hubungan sederhana antara jumlah aliran (yaitu aliran proses ditambah utility-utility) dalam proses dan jumlah minimum unit-unit heat exchanger (yaitu heater, cooler, dan intercooler). Jadi jika ingin mendapatkan energy recovery yang terbaik, maka haruslah merencanakan bagian-bagian "heat source dan heat sink" secara terpisah. Keuntungan lainnya

adalah akan tersedianya kebutuhan unit-unit lebih dibandingkan jika *heat source* dan *heat sink* oleh *pinch* diabaikan.

Dengan demikian dapat disimpulkan bahwa dengan menyusun kurva komposit, dapat diketahui jumlah *external heating* dan *external cooling minimum* yang dibutuhkan oleh suatu sistem proses. Inilah yang dinamakan *Targetting Energy*.

#### 2.1.1. Composite Curve

Untuk membuat *composite curve* (kurva komposit) suatu proses *heat exchanger*, maka data tentang *heat capacity flowrate* (CP) sangat diperlukan. CP didefinisikan sebagai berikut:

$$CP = m \times C_P$$

Dimana:

m = mass-flow [kg/dtk]

C<sub>P</sub> = Specific heat [ kJ/kg. <sup>O</sup>C ]

Jika CP dianggap konstan sepanjang aliran dan dT adalah perbedaan suhu antara dua titik yang berdekatan sepanjang aliran, maka untuk aliran

dingin yang memerlukan pemanasan dari  $T_S$  (temperatur suplai) sampai mencapai  $T_t$  (temperatur target), jumlah total panas yang harus diterima akan sama dengan perubahan entalpi-nya ( $\Delta H$ ), yaitu:

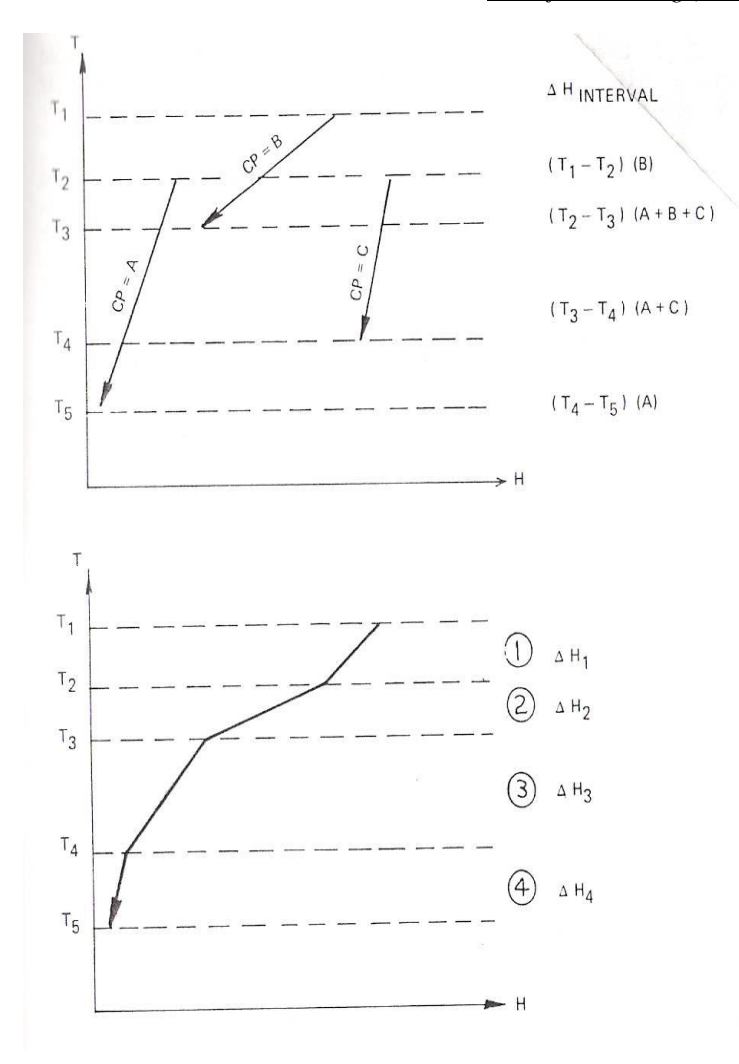
$$Q = CP \cdot dT = CP (T_t - T_S) = \Delta H$$

dan didalam diagram temperatur – entalpi (T-H), aliran dapat digambarkan dengan sebuah garis lurus yang mempunyai slope (gambar 2-4):

$$\frac{dT}{dQ} = \frac{1}{CP}$$

jadi, diagram (T-H) dapat digunakan untuk menggambarkan proses pertukaran panas yang tejadi dalam suatu aliran .

gambar 2-3a, menggambarkan tiga aliran panas yang digambarkan secara terpisah, dimana temperatur suplai dan temperatur targetnya ditetapkan dalam bentuk interval-interval temperatur dari  $T_1$  sampai  $T_5$ .



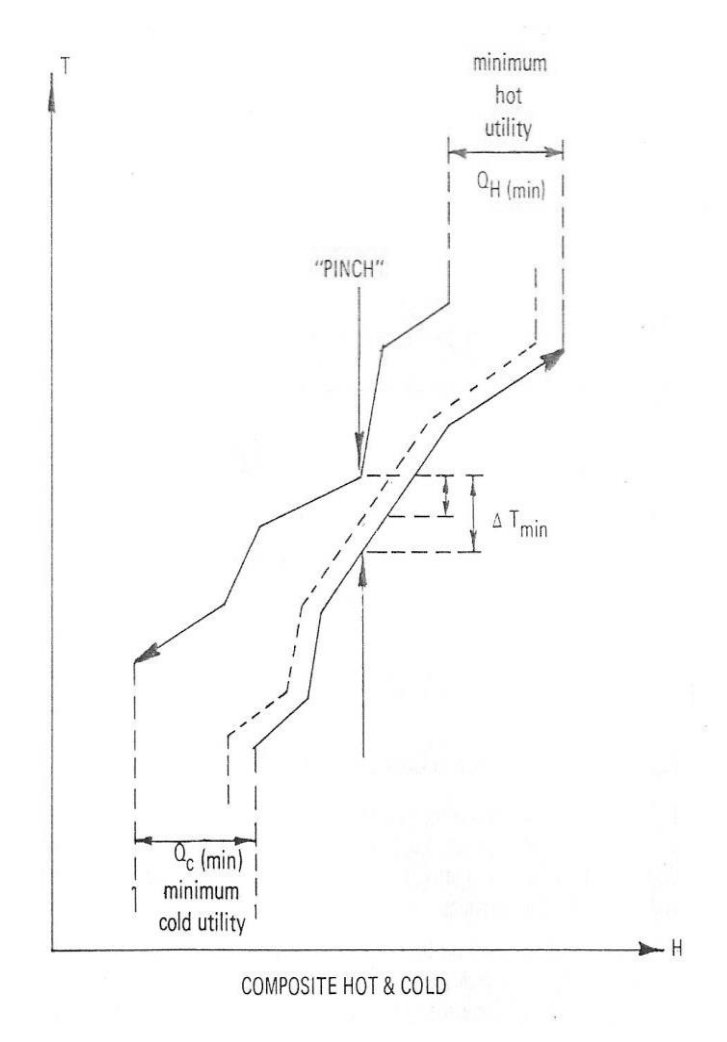
Gambar 2-3: Konstruksi Kurva Komposit Sumber: B. Linnhoff, 1985

- Antara T<sub>1</sub> T<sub>2</sub> hanya terdapat aliran B, sehingga panas yang ada pada interval ini adalah: CP<sub>B</sub> (T<sub>1</sub> - T<sub>2</sub>)
- Antara T<sub>2</sub> T<sub>3</sub> hanya terdapat aliran A, B, dan C sehingga panas yang tersedia pada interval ini adalah: (CP<sub>A</sub> + CP<sub>B</sub> + CP<sub>C</sub>).(T<sub>2</sub> T<sub>3</sub>)
- Antara T<sub>3</sub> T<sub>4</sub> hanya terdapat aliran A, dan C sehingga panas yang tersedia pada interval ini adalah: (CP<sub>A</sub> + CP<sub>C</sub>).(T<sub>3</sub> T<sub>4</sub>)
- Antara T<sub>4</sub> T<sub>5</sub> hanya terdapat aliran A sehingga panas yang tersedia pada interval ini adalah: CP<sub>A</sub> (T<sub>4</sub> - T<sub>5</sub>)

Nilai-nilai ΔH untuk masing-masing interval dapat diperoleh dengan cara seperti diatas, dan hasilnya dapat digambarkan kembali pada masing-masing interval sebagai berikut:

- Slope interval T₁ − T₂ =1 : CP<sub>B</sub>
- Slope interval T<sub>2</sub> T<sub>3</sub> = 1 : (CP<sub>A</sub> + CP<sub>B</sub> + CP<sub>C</sub>)
- Slope interval T<sub>3</sub> T<sub>4</sub> = 1 : (CP<sub>A</sub> + CP<sub>C</sub>)
- Slope interval T<sub>4</sub> − T<sub>5</sub> = 1 : CP<sub>A</sub>

Hasil penggambaran pada TH diagram tersebut adalah merupakan kurva tunggal yang menggambarkan semua aliran panas yang ada. Prosedur yang sama juga dapat diterapkan untuk aliran dingin, sehingga nantinya akan dapat dihasilkan sebuah kurva komposit seperti pada gambar 2-4 yang menunjukkan tipikal sepasang kurva komposit, dimana terdapat "interchange" dan tidak hanya pada satu ujung.

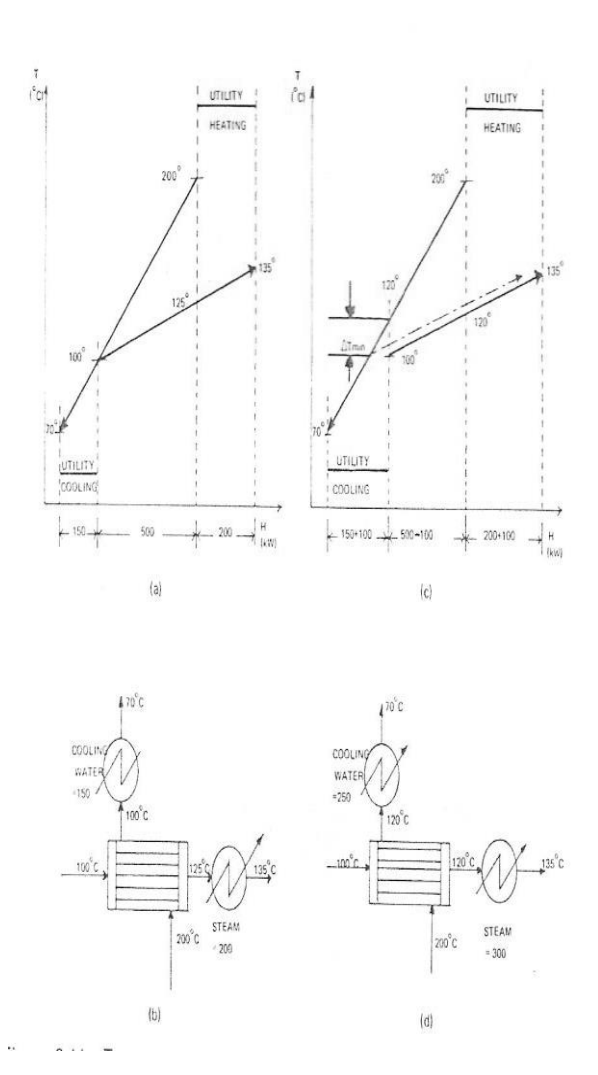


Gambar 2-4: *Pinch* dan *Energy Target* pada Kurva Komposit

Sumber: B. Linnhoff, 1985

Secara umum  $\Delta T_{min}$  terjadi hanya pada satu titik yang disebut *pinch*, ini berarti memungkinkan untuk merencanakan sebuah *network* yang menggunakan kebutuhan *utility minimum*.

Interprestasi dari kurva komposit ditunjukkan pada gambar 2-5, dimana terdapat dua aliran dalam diagram T-H tersebut, yang terdiri dari satu aliran panas (aliran yang membutuhkan pendinginan) dan aliran dingin(aliran yang membutuhkan pemanasan).



Gambar 2-5: Pertukaran Panas Dua Aliran dalam T-H
Diagram

Sumber: B. Linnhoff, 1985

Agar terjadi pertukaran panas antara keduanya, maka aliran panas harus lebih panas dari pada aliran dingin pada semua titik. Akan tetapi karena temperatur relatif kedua aliran (gambar 2-5a) tersebut mewakili permasalahan yang diilustrasikan diagram alir pada gambar 2-5b. pertukaran panas antara aliran panas ke aliran dingin secara counter current pada ujung yang dingin adalah nol. Hal ini berarti bahwa dalam contoh tersebut panas yang tersedia pada aliran 100<sup>o</sup>C temperatur di bawah panas dikeluarkan lagi ke *cooling water*, sedangkan aliran dingin harus dipanaskan sampai temperatur 135°C dengan menggunakan pemanasan uap dari hot utility.

Dalam gambar 2-5c, aliran dingin ditunjukkan relatif terpisah dengan aliran panas pada axis-H, sehingga flow diagramnya berubah seperti pada gambar 2-5d. Jelaslah bahwa pergeseran lebih lanjut salah satu aliran terhadap yang lainnya mengakibatkan, pertama: nilai  $\Delta T_{min}$  dalam *exchanger* dan beban *utility* total pada sistem; kedua: jika beban *hot utility* 

naik sebesar  $\alpha$ , maka *cold utility* juga akan naik sebesar  $\alpha$ , sesuai dengan prinsip *more in, more out*.

# 2.1.2. Problem Table

Targetting energy untuk mencari external cooling dan external heating yang minimum menggunakan kurva komposit adalah relatif sulit. Karena harus menggeser-geser kurva komposit baik itu aliran panas maupun aliran dingin sampai diperoleh  $\Delta T_{min}$ vang dikehendaki. Untuk mendapatkan harga external heating dan cooling yang minimum dengan mudah, telah dikembangkan sebuah cara numerik sehingga targetting energy dapat di program dalam komputer. Cara numerik tersebut dinamakan problem table.

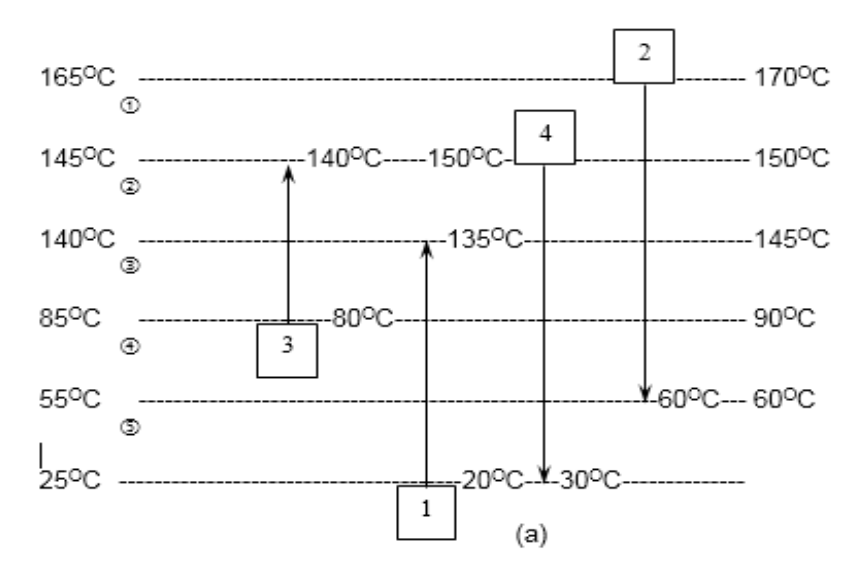
Program table menggambarkan jumlah pertukaran panas maksimum yang mungkin terjadi pada suatu interval temperatur dalam suatu proses. Langkah pertama adalah membuat analysis interval; yaitu membuat interval-interval temperatur yang tertinggi, kemudian aliran panas dan aliran dingin digabung menjadi satu. Satu hal yang diperhatikan adalah dalam satu interval temperatur tertentu, aliran panas

dan aliran dingin akan bergerak paling kecil sebesar  $1/2 \, \Delta T_{\rm min}$ . Untuk itu pada langkah ini adalah membuat interval-interval temperatur yang batasbatasnya ditetapkan adalah sebesar  $1/2 \, \Delta T_{\rm min}$  dibawah temperatur aliran panas dan sebesar  $1/2 \, \Delta T_{\rm min}$  diatas temperatur aliran dingin. Aliran panas digambarkan dari atas ke bawah dan pada aliran dingin sebaliknya.

Tabel 2-1: Data Proses Sumber: B. Linnhoff, 1985

| No. | Stream<br>type | CP<br>[kW/ <sup>o</sup> C<br>] | T <sub>S</sub> [°C] | T <sub>t</sub> [ °C ] |
|-----|----------------|--------------------------------|---------------------|-----------------------|
| 1   | Cold           | 2                              | 20                  | 135                   |
| 2   | Hot            | 3                              | 170                 | 60                    |
| 3   | Cold           | 4                              | 80                  | 140                   |
| 4   | Hot            | 1.5                            | 150                 | 30                    |

$$1/2 \Delta T_{\min} = 10^{\circ} \text{C}$$



|                                   | Interval<br>No. | Ti-Ti+1<br>(°C) | Σ CPcold - Σ CPhot<br>(kW/°C) | ΔHi<br>(kW) | Surplus<br>or Deficit |  |
|-----------------------------------|-----------------|-----------------|-------------------------------|-------------|-----------------------|--|
| T <sub>1</sub> =165°C             | 1               | 20              | - 3.0                         | - 60        | Surplus               |  |
| T3=140°C                          | 2               | 5               | - 0.5                         | - 2.5       | Surplus               |  |
| T4=85°C                           | 3               | 55              | + 1.5                         | + 82.5      | Defisit               |  |
| T5=55°C                           | 4               | 30              | - 2.5                         | - 75        | Surplus               |  |
| T <sub>6</sub> =25 <sup>o</sup> C | 5               | 30              | + 0.5                         | + 15        | Defisit               |  |
| (b)                               |                 |                 |                               |             |                       |  |

(b)

Gambar 2-6: Analisa Interval Temperatur Sumber: B. Linnhoff, 1985

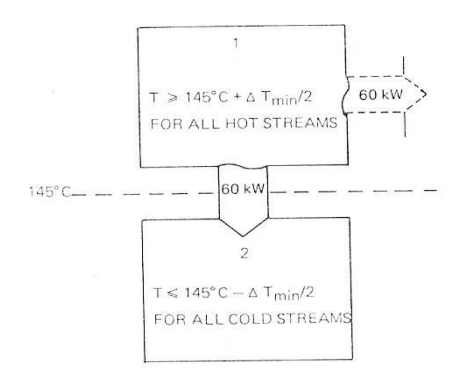
Tabel 2-1 dengan menetapkan batas-batas interval seperti diatas, maka pertukaran panas pada setiap interval akan selalu mungkin terjadi, pertukaran panas pada tiap interval temperatur tersebut mungkin akan terjadi surplus energi (sistem menerima energi dari luar) atau sebaliknya akan terjadi defisit energi (sistem mengeluarkan energi ke luar). Jika nomor batas-batas interval temperatur diberi nomor urut dari atas ke bawah, seperti pada gambar 2-6, maka kesetimbangan entalpi pada interval no.1 adalah:

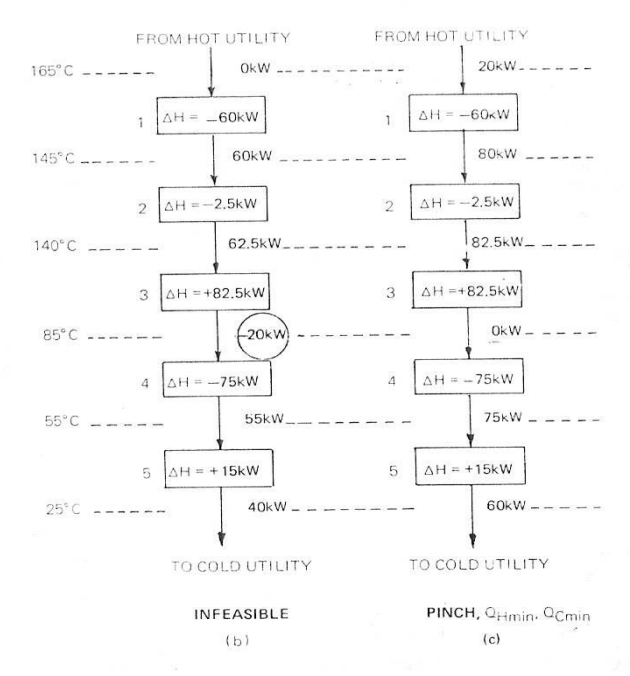
$$\Delta H_1 = (T_1 - T_1 + 1) \left( \sum CP_{cold} - \sum CP_{hot} \right)_1$$

Sebagai catatan dalam contoh ini diambil harga  $1/2 \Delta T_{\rm min} = 10^{\rm O} {\rm C}$ . Jika harga  $\Delta H_1$  negatip (-) ini artinya surplus (sistem menerima energi dari luar), dan jika harga  $\Delta H_1$  positip (+) ini artinya defisit (sistem mengeluarkan energi ke luar). Untuk mengetahui besarnya surplus atau defisit pada tiaptiap interval, maka dibuat tabel seperti pada gambar 2-6b.

Panas yang tersedia dalam suatu interval dialirkan ke interval berikutnya (i+1). Sebagai ilustrasi (gambar 2-7a), dimana interval 1 mempunyai persediaan panas sebesar 60 kW, maka panas ini akan dialirkan ke interval 2.

#### Manajemen Energi(MS-6112)





Gambar 2-7: *Problem Table*Sumber: B. Linnhoff, 1985

Dengan cara ini seperti ini Gambar 2-6b dapat diubah menjadi blok diagram seperti pada Gambar 2-7b dengan menganggap energi dari *external hot utility* (*external heater*) yang masuk ke dalam sistem besarnya nol.

Sesuai dengan prinsip termodinamika, maka aliran senergi dari interval yang atas ke interval yang bawah adalah harus positip atau nol. Sedangkan pada Gambar 2-7b aliran energi negatip terjadi dari interval 3 ke interval 4. Aliran energi seperti itu secara termodinamika tidak mungkin, karena itu perlu adanya suplai panas dari *hot utility* sebesar minimum 20 kW agar tidak terjadi aliran antar interval yang negatip.

Dengan adanya penambahan sebesar 20 kW ini, sesuai kesetimbangan entalpi berarti bahwa semua aliran akan bertambah sebesar 20 kW. Sebagai hasilnya kebutuhan minimum utiliti-utiliti dapat ditentukan yaitu sebesar 20 kW untuk hot utility dan 60 kW untuk cold utility. Aliran antar interval yang harganya nol terjadi pada pinch atau dengan kata lain pinch ditunjukkan dengan letak aliran yang

besarnya nol, dari gambar 2-7b *pinch* terjadi pada temperatur 85 °C.

Dari problem table tersebut terdapat dua hal yang perlu dicatat, bahwa:

- Kebutuhan minimum uitiliti telah diketahui yaitu sebesar 20 kW, representasi heat untuk hot utility dan 60 kW untuk cold utility.
- Letak *pinch* diketahui, yaitu pada aliran energi antar interval nol. Dalam hal ini terjadi pada temperatur 85 <sup>O</sup>C sehingga pada aliran panas 90 <sup>O</sup>C (+1/2 Δ T<sub>min</sub>) dan pada aliran dingin 80 <sup>O</sup>C (-1/2 Δ T<sub>min</sub>) dimana 1/2 Δ T<sub>min</sub> = 10 <sup>O</sup>C.

## 2.2. MAXIMUM ENERGY RECOVERY

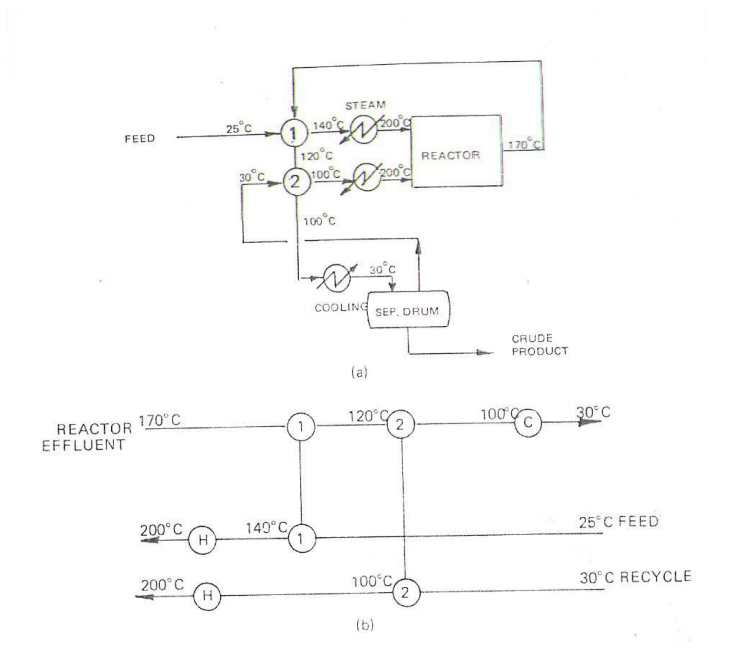
Dari pembahasan tentang metode pinch sejauh ini adalah untuk menghasilkan desain dengan utility minimum, ada beberapa hal yang harus tetap diingat bahwa:

- Jangan sampai mengalirkan panas melewati pinch
- Jangan menggunakan cold utility diatas pinch
- Jangan menggunakan hot utility dibawah pinch

# 2.2.1. Representasi Heat Exchanger Network

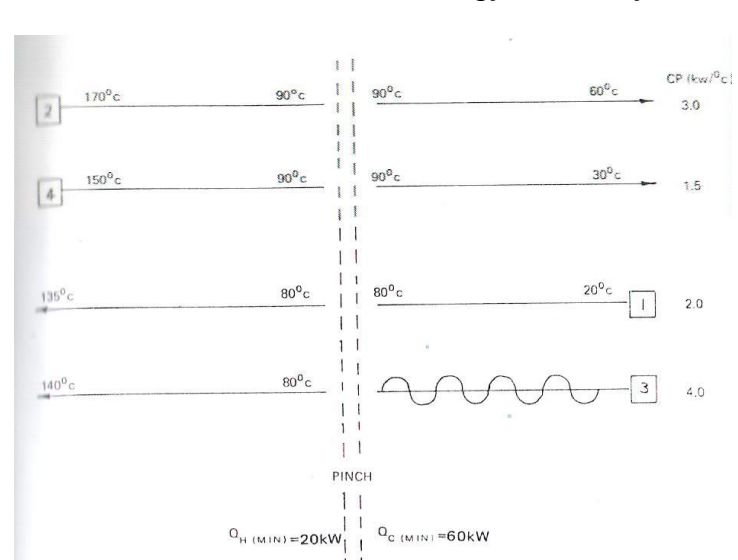
Cara menggambarkan *heat exchanger network* diagram aliran pada gambar 2-8a dapat dilihat pada gambar 2-8b. Adapun ketentuannya adalah sebagai berikut:

- ◆ Aliran panas bergerak dari kiri ke kanan
- Aliran dingin bergerak dari kanan ke kiri
- Sebelah kiri temperaturnya lebih tinggi dari sebelah kanan
- Heater atau cooler digambarkan dengan satu lingkaran yang masing-masing diberi tanda [H] dan [C]
- Heat exchanger digambar dengan dua lingkaran yang dihubungkan dengan sebuah garis vertikal.



Gambar 2-8: Representase Heat Exchanger Network
Sumber: B. Linnhoff, 1985

Cara penggambaran demikian dapat digunakan untuk mencari desain heat exchanger network dengan kemungkinan heat recovery yang terbaik. Disamping itu, pinch dapat juga digambarkan dengan mudah, dimana pada diagram alir hal ini tidak dapat dilakukan.

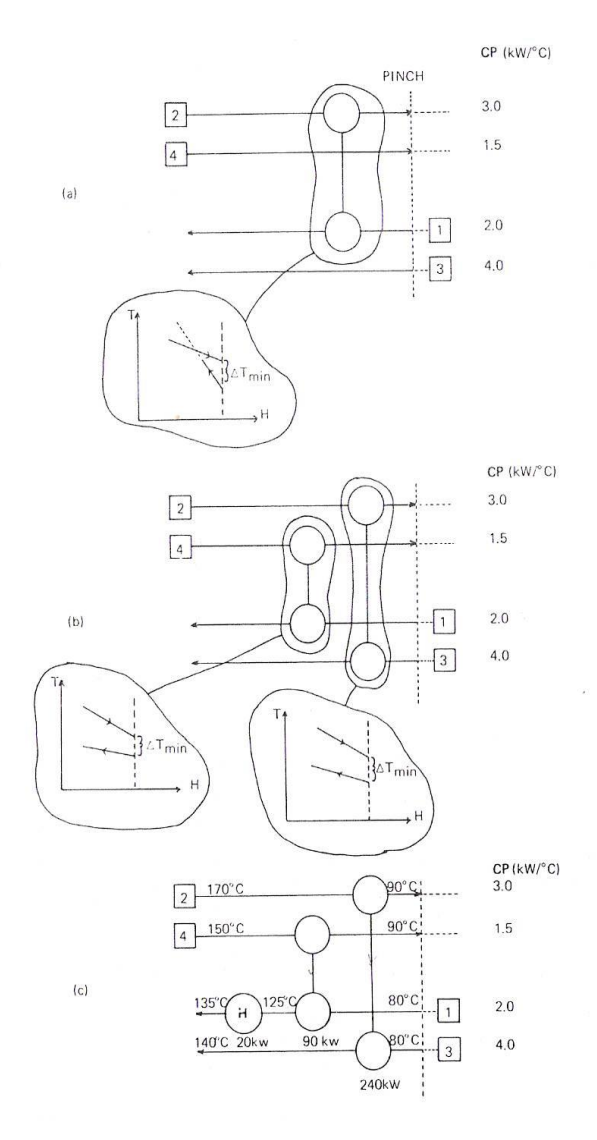


# 2.2.2. Desain untuk Maksimum Energy Recovery

Gambar 2-9: Data Aliran yang Menunjukkan *Pinch*Sumber: B. Linnhoff, 1985

Untuk lebih memahami cara menggunakan penggambaran diatas guna mencari desain yang optimum, maka dengan meninjau kembali sebuah proses yang datanya ditunjukkan tabel 2-1.

Dalam sub bab sebelumnya telah diketahui bahwa *pinch* terjadi pada temperatur 85  $^{\rm O}$ C dalam *problem table*. Sehingga untuk aliran panas pada temperatur 90  $^{\rm O}$ C dan untuk aliran dingin pada temperatur 80  $^{\rm O}$ C (karena untuk aliran panas di tambah dengan 1/2  $^{\rm O}$ C (karena untuk aliran panas di tambah dengan 1/2  $^{\rm O}$ C (karena untuk aliran dingin dikurangi dengan 1/2  $^{\rm O}$ C  $^{\rm O}$ C (harena untuk aliran dingin dikurangi dengan 1/2  $^{\rm O}$ C  $^{\rm O}$ C (harena untuk aliran dingin dikurangi dengan 1/2  $^{\rm O}$ C  $^{\rm O}$ C dan untuk aliran panas di tambah dengan 1/2  $^{\rm O}$ C (harena untuk aliran dingin dikurangi dengan 1/2  $^{\rm O}$ C dan untuk aliran panas di tambah dengan 1/2  $^{\rm O}$ C (harena untuk aliran dingin dikurangi dengan 1/2  $^{\rm O}$ C dan untuk aliran dingin pada temperatur 80  $^{\rm O}$ C (harena untuk aliran panas di tambah dengan 1/2  $^{\rm O}$ C (harena untuk aliran panas di tambah dengan 1/2  $^{\rm O}$ C (harena untuk aliran panas di tambah dengan 1/2  $^{\rm O}$ C (harena untuk aliran dingin pada temperatur 80  $^{\rm O}$ C (harena untuk aliran panas di tambah dengan 1/2  $^{\rm O}$ C (harena untuk aliran panas di tambah dengan 1/2  $^{\rm O}$ C (harena untuk aliran panas di tambah dengan 1/2  $^{\rm O}$ C (harena untuk aliran panas di tambah dengan 1/2  $^{\rm O}$ C (harena untuk aliran panas di tambah dengan 1/2  $^{\rm O}$ C (harena untuk aliran panas di tambah dengan 1/2  $^{\rm O}$ C (harena untuk aliran panas di tambah dengan 1/2  $^{\rm O}$ C (harena untuk aliran panas di tambah dengan 1/2  $^{\rm O}$ C (harena untuk aliran panas di tambah dengan 1/2  $^{\rm O}$ C (harena untuk aliran panas di tambah dengan 1/2  $^{\rm O}$ C (harena untuk aliran panas di tambah dengan 1/2  $^{\rm O}$ C (harena untuk aliran panas di tambah dengan 1/2  $^{\rm O}$ C (harena untuk aliran panas di tambah dengan 1/2  $^{\rm O}$ C (harena untuk aliran panas di tambah dengan 1/2  $^{\rm O}$ C (harena untuk aliran panas di tambah dengan 1/2  $^{\rm O}$ C (harena untuk aliran panas di tambah dengan 1/2  $^{\rm O}$ C (harena untuk aliran panas di tambah dengan 1/2  $^{\rm O}$ C (



Gambar 2-10: Perencanaan Bagian atas *Pinch*Sumber: B. Linnhoff, 1985

Untuk merencanakan *Heat Exchanger Networks* yang dapar menghasilkan *recovery energy maximum* (yaitu yang menggunakan *hot utility* dan *cold utility minimum*, maka digunakan langkah dan aturan berikut ini:

- Buat sistem aliran yang terbagi dua oleh pinch (gambar 2-9)
- Mulailah perencanaan dari pinch
- Heat exchanger yang berujung pada pinch agar dapat dipertukarkan panasnya, maka masing-masing aliran harus mengikuti aturan berikut::

 $\mathsf{CP}_\mathsf{Hot} \ \langle \ \mathsf{CP}_\mathsf{Cold} : \mathsf{Untuk} \ \mathsf{bagian} \ \mathsf{diatas} \ \mathsf{\mathit{pinch}}$   $\mathsf{CP}_\mathsf{Hot} \ \rangle \ \mathsf{CP}_\mathsf{Cold} : \mathsf{Untuk} \ \mathsf{bagian} \ \mathsf{dibawah} \ \mathsf{\mathit{pinch}}$ 

- Memaksimalkan beban panas heat exchanger dengan cara tick-off (menghabiskan) satu aliran
- External heating hanya berada diatas pinch dan external cooling berada dibawah pinch

Untuk menerapkan langkah dan aturan tersebut pada proses seperti gambar 2-9, maka dimulai dengan desain bagian diatas *pinch* atau bagian ujung panas yang berada disebelah kiri *pinch* (gambar 2-10).

Pertama adalah memasangkan aliran-aliran diatas *pinch*. Aliran 2 dipasangkan dengan aliran 1, perhatikan gambar 2-10. Karena CP aliran 2 lebih besar dari CP aliran 1 (3-2), sehingga tidak memenuhi syarat. Sebagaimana yang digambarkan dalam T-H diagram (insert), begitu beban diletakkan pada match maka  $\Delta T_{min}$  dalam *exchanger* menjadi berkurang dari  $\Delta T_{min}$  pada ujung panasnya.

Kemudian dengan mencoba memasangkan aliran 2 dengan aliran 3 (gambar 2-10b), hal ini memenuhi kriteria CP yaitu  $CP_{Hot} \langle CP_{Cold}$  untuk bagian diatas pinch ( $CP_{Cold} = 3.0 \langle CP3 = 4.0$ ). Pada kondisi tersebut panas aliran 2 agar maksimal terjadi sebesar:

$$Q = (170^{\circ} - 90^{\circ})$$
. Cpa  
 $Q = (170^{\circ} - 90^{\circ})$ .  $3 = 240$  kW

Seluruh panas pada aliran 2 diatas *pinch* tersebut diserap oleh aliran 3, dengan panas sebesar 240 kW aliran dingin 3 akan berkurang sebesar:

$$T = \frac{Q_2}{CP_2} = \frac{240 \ kW}{4} = 60^{\circ}$$

Dalam hal ini temperatur sebesar 140° kebetulan sama dengan temperatur target. Selanjutnya memasangkan aliran 4 dengan aliran 1 (gambar 2-10). Besarnya panas yang dimiliki aliran 4 adalah:

$$Q_4 = (T_{4,suplai} - T_{pinch}) \cdot CP_4$$
  
 $Q_4 = (150 - 90) \cdot 1.5 = 90 \text{ kW}$ 

Panas ini semuanya diberikan kepada liran 1 sehingga akan habis (*thick-off*), maka aliran 1 temperaturnya akan naik sebesar:

$$\Delta T = \frac{Q_4}{CP_1} = \frac{90 \ kW}{2.0 \ kW/^{o} \ C} = 45^{o} C$$

Sehingga, temperatur keluar exhanger pada aliran 1 temperaturnya akan menjadi:

$$T_O = 80^{\circ}C + 45^{\circ}C = 125^{\circ}C$$

Karena temperatur target aliran ini adalah sebesar 135°C, maka masih diperlukan *heater* untuk

menaikkan temperatur dari 125°C menjadi 135°C. Daya *heater* yang diperlukan adalah:

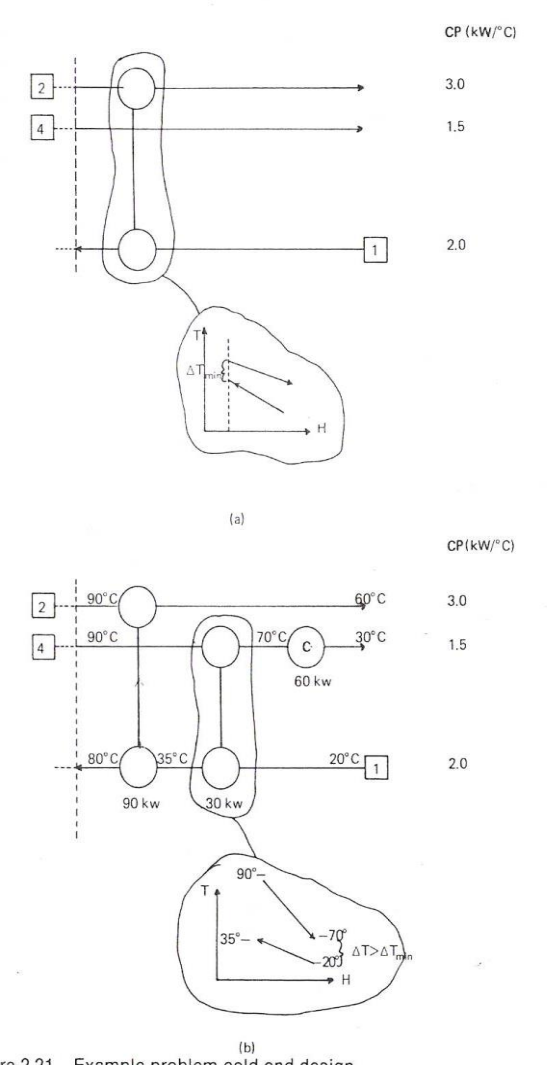
$$Q_H = CP_1 \times \Delta T$$
  
 $Q_H = 2.0 \frac{kW}{_{^{o}C}} \times (135 {^{o}C} - 125 {^{o}C}) = 20 kW$ 

Sehingga didapat desain seperti pada gambar 2-10c. Apabila semuanya digabung akan dihasilkan *network* diatas *pinch* sebagai berikut:

Untuk bagian dibawah pinch, pertama dapat dipasangkan aliran2 dengan aliran1 (gambar 2-11a). Panas yang tersedia pada aliran 1 dibawah pinch sebesar:

$$Q_2 = (90^{\circ} - 60^{\circ}) \cdot CP_2$$
  
 $Q_2 = (90^{\circ} - 60^{\circ}) \cdot 3 \text{ Kw/}^{\circ}C = 90 \text{ kW}$ 

#### Manajemen Energi(MS-6112)



Gambar 2-11: Desain bagian dibawah *Pinch*Sumber: B. Linnhoff, 1985

Pasangan ini memenuhi kriteria  $CP_{Hot}$   $\rangle$   $CP_{Cold}$ : Untuk bagian dibawah *pinch* (CP2 = 3.0  $\rangle$  CP1 = 2.0). Panas sebesar 90 kW ini akan dialirkan seluruhnya menuju aliran 1, sehingga aliran 1 akan mempunyai kenaikkan temperatur sebesar:

$$\Delta T = \frac{Q_2}{CP_1} = \frac{90 \ kW}{2.0 \ kW/^{o} \ C} = 45^{o} C$$

Artinya temperatur yang masuk aliran 1 pada *heat* exchanger ini sama dengan :  $T = 80^{\circ}C - 45^{\circ}C = 35^{\circ}C$ 

Ternyata dari temperatur suplai 20<sup>o</sup>C aliran 1 masuk memerlukan panas agar dapat mencapai 35<sup>o</sup>C, sebesar:

$$Q_2 = (35^{\circ} - 20^{\circ})$$
 .  $CP_1$   
 $Q_2 = (35^{\circ} - 20^{\circ})$  . 2 Kw/°C = 30 kW

Keperluan panas ini dapat dipenuhi dengan memasangkan kembali aliran 1 dengan aliran 4 (gambar 2-11), berarti panas yang tersedia pada aliran 4 diambil sebesar 30 kW oleh aliran 1, sehingga temperatur aliran 4 keluar *exchanger* ini mempunyai beda temperatur sebesar:

$$\Delta T = \frac{30 \, kW}{CP_A} = \frac{30 \, kW}{1.5 \, kW/^{\,o} \, C} = 20^{\,o} \, C$$

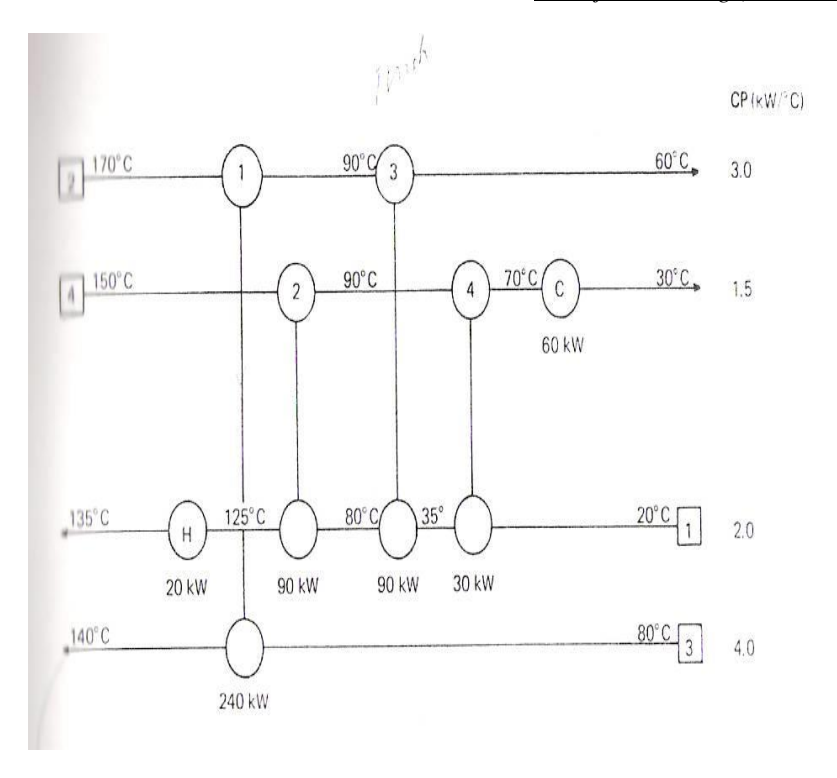
Oleh karena itu temperatur keluar exchanger adalah:

$$T = 90^{\circ}C - 20^{\circ}C = 70^{\circ}C$$

karena temperatur target adalah 30°C, untuk itu diperlukan *cooling utility* sebesar:

$$Q = (30^{\circ} - 70^{\circ}) \times 1.5 = -60 \text{ kW (membuang panas)}$$

Apabila desain bagian diatas *pinch* dan bagian dibawah *pinch* digabung dan letak *pinch* dihilangkan, maka akan didapatkan desain-desain *heat exchanger network* lengkap seperti pada gambar 2-12.



Gambar 2-12: Desain lengkap *Heat Exchanger Network*Sumber: B. Linnhoff, 1985

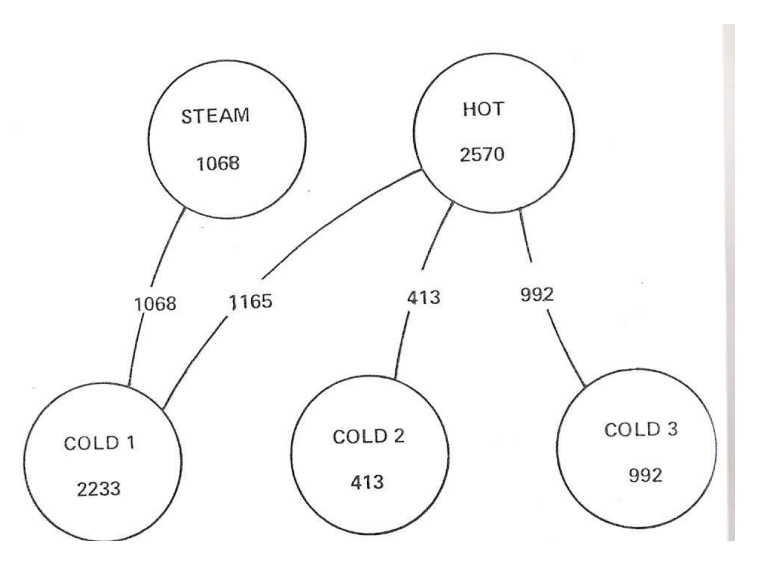
# BAB 3

# TRADE OFF ANTARA ENERGY RECOVERY TERHADAP BIAYA KAPITASI

Biaya kapital dari proses-proses kimia cenderung didominasi oleh jumlah unit peralatan dalam aliran proses. Sehingga menimbulkan dorongan kuat untuk berusaha mengurangi jumlah "*match*" antara aliran panas dan aliran dingin.

#### 3.1. JUMLAH MINIMUM UNIT

Untuk menentukan berapa jumlah minimum dari unit yang diperlukan (gambar 3-1) menunjukkan beban panas pada satu aliran panas dan tiga aliran dingin yang digambarkan dengan lingkaran.



Gambar 3-1: Ilustrasi Desain Dengan Jumlah Unit Minimum Sumber: B. Linnhoff, 1985

Demikian juga dengan beban pada *hot utility*, dengan mengasumsikan bahwa batas-batas temperatur akan

mengikuti setiap *match* yang akan dibuat, maka dapat dimulai dengan membuat *match-match* sebagai berikut:

- Matching antara (Steam) dengan (Cold 1); Jika beban (Steam) dihabiskan (thicking-off) maka terdapat sisa 1165 unit pemanasan yang masih dibutuhkan (Cold 1).
- Matching antara (Cold 1) dengan (Hot) dan beban pada match ini dimaksimumkan sehingga menghabiskan sisa kebutuhan pemanasan pada (Cold 1), sementara itu (Hot) masih sisa 1405 unit panas.
- Matching antara (Hot) dengan (Cold 2) dan (Cold 3) sekaligus, kemudian beban sisa pada (Hot) dimaksimalkan sehingga habis untuk memenuhi kebutuhan pemanasan pada (Cold 2) dan (Cold 3).

Langkah-langkah tersebut akan mengarahkan pada sebuah perencanaan dengan total jumlah *match* empat yang pada kenyataannya merupakan jumlah minimum pada sistem tersebut. Perlu diperhatikan bahwa jumlah minimum unit kurang satu dibanding dengan jumlah total

aliran ditambah utiliti. Sehingga didapatkan suatu persamaan:

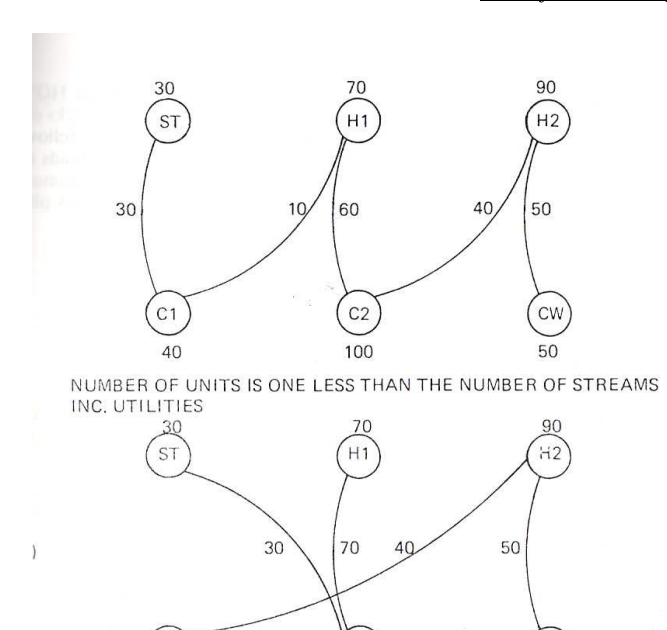
$$U_{min} = N - 1$$

dimana:  $U_{min} = Jumlah$  minimum unit (termasuk *heater, cooler*)

N = Jumlah total aliran (termasuk utiliti)

Sehingga dalam kenyataannya, adalah sangat mungkin dalam perencanaan *heat exchanger network* untuk mendapatkan  $U_{min}$  seperti yang akan ditunjukkan berikut ini.

Gambar 3-2a, sistem mempunyai dua aliran panas dan dua aliran dingin, pada kasus ini *utility heating* dan *utility cooling* keduanya sangat dibutuhkan. *Match-match* yang ada menghabiskan semua beban panas maupun beban dingin, ataupun sisa-sisa beban tersebut, sehingga mengarah kepada desain dengan jumlah unit n-1, ditunjukkan mempunyai jumlah unit yang kurang satu dari sebelumnya.



SAME PRINCIPLE FOR SEPARATE COMPONENTS - 'SUBSET EQUALITY'

CW

C2

100

C1

Gambar 3-2: Prinsip-prinsip Persamaan Subset Sumber: B. Linnhoff, 1985

Hal ini dapat terjadi karena secara keseluruhan sistem tersebut berada dalam kesetimbangan entalpi, yaitu  $[H_2]$ ,  $[C_1]$ , dan [CW] berada dalam kesetimbangan sendiri, begitu juga dengan [ST],  $[H_1]$ , dan  $[C_2]$ , ini berarti untuk sistem tersebut dapat direncanakan dua network terpisah secara lengkap untuk masing-masing kondisi kesetimbangan

entalpi dengan menggunakan persamaan  $U_{min} = N - 1$  diterapkan pada masing-masing, jadi total unit yang dipakai untuk keseluruhan sistem menjadi:

$$(3-1) + (3-1) = 4$$
 unit

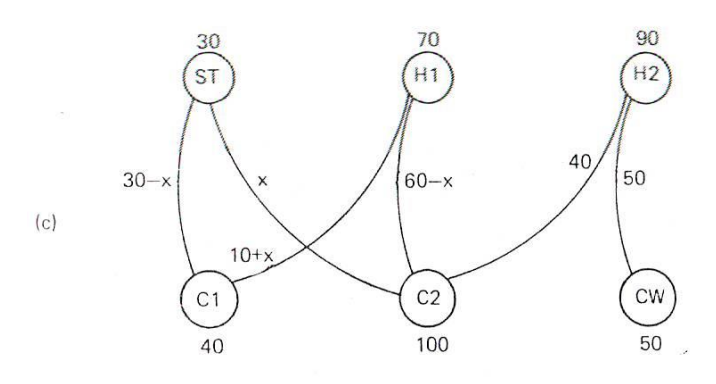
dengan demikian kurang satu dibandingkan jumlah unit pada gambar 3-2a. Keadaan ini dinamakan "subset equality" (persamaan subset), dimana untuk sistem yang telah ada adalah mungkin untuk diidentifikasi adanya dua subset yang masing-masing berada dalam kesetimbangan entalpi sehingga dapat disusun network secara terpisah. Atau kadang-kadang mungkin dengan sengaja mengubah beban tetap pada tiap unit sehingga sesuai dengan persamaan subset dan kemudian dapat menghemat sebuah unit.

## 3.2. LOOP DALAM SISTIM

Desain yang ditunjukkan pada gambar mempunyai satu unit lebih dari perencanaan dalam gambar 3-3a, unit baru tersebut adalah *match* antara [ST] dengan [C<sub>2</sub>]. Unit tambahan ini ternyata memasukkan apa yang dikenal sebagai sebuah *loop* kedalam sistem. *Loop* inilah yang memungkinkan adanya "benang merah" yang

menghubungkan *network*. Yaitu: katakanlah dimulai dari [ST] maka *loop*-nya adalah:

$$[ST] - [C_1] - [H_1] - [C_2] - [ST]$$



ONE UNIT MORE FOR EVERY LOOP

Gambar 3-3: Prinsip-prinsip Loop

Sumber: B. Linnhoff, 1985

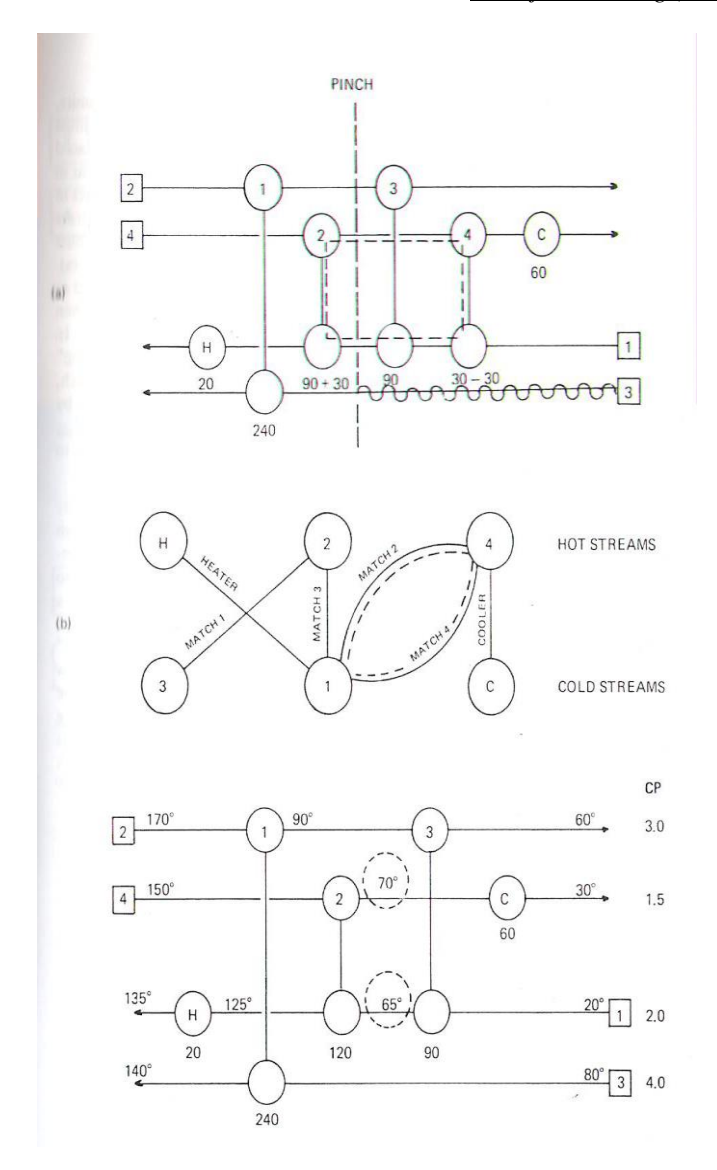
Adanya *loop* dalam sistem ini memasukkan sebuah unsur kefleksibelan (*fleksibility*) kedalam perencanaan.

Andaikan bahwa *match* baru antara [ST] dan [C<sub>2</sub>] tersebut diberikan sebuah beban sebesar x unit, dengan kesetimbangan entalpi beban pada *match* [ST] – [C<sub>1</sub>] berkurang menjadi 30 - x; antara [C<sub>1</sub>] – [H<sub>1</sub>] menjadi 10 + x dan antara [H<sub>1</sub>] – [C<sub>2</sub>] menjadi 60 - x, misalnya x = 30 maka *match* [ST] dan [C<sub>1</sub>] menjadi hilang. Kefleksibelan

dalam perencanaan yang timbul dengan adanya *loop* kadang-kadang bermanfaat.

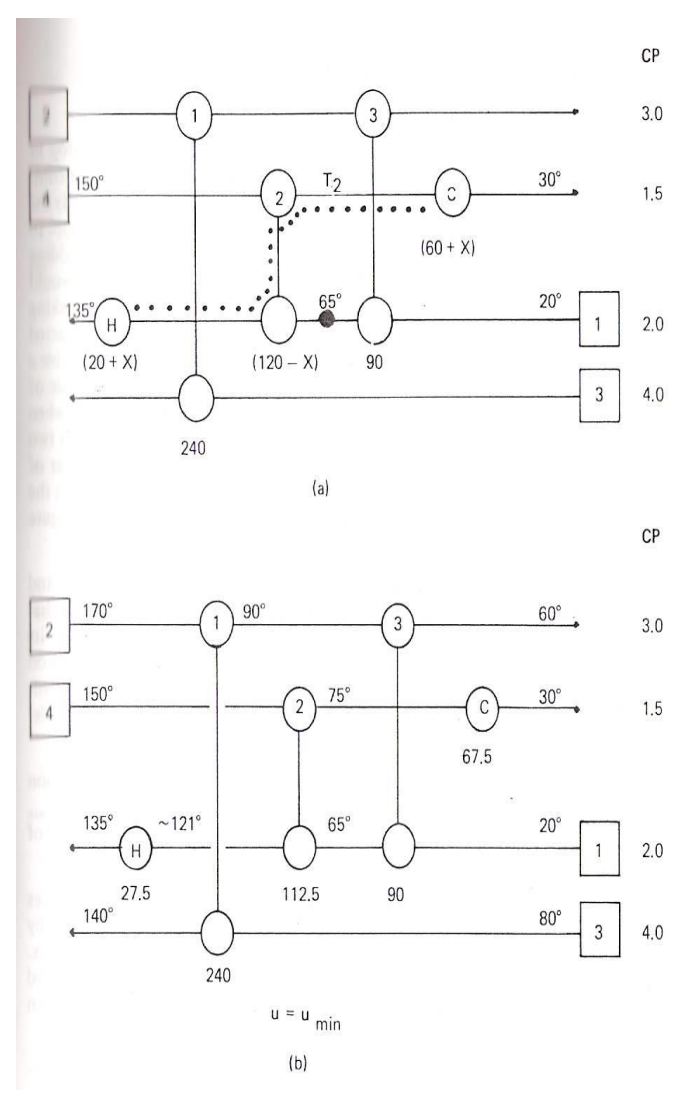
#### 3.3. TRADE OF UNIT TERHADAP BIAYA KAPITAL

Ketika terdapat sebuah *loop* didalam sistem seperti pada gambar 3-4, beban pada salah satu *match* dalam *loop* tersebut dapat dipilih salah satu untuk di-nol-kan. Beban tersebut lalu dibawa oleh *match* yang satunya lagi. Jika dipilih *match* 4 menjadi nol, maka beban 30 kW berkurang dari nilai perencanaan, kemudian *match* 4 dieliminasi dan beban 30 kW tersebut harus dibawa oleh *match-match* lain dalam *loop* tersebut. Sehingga beban berubah dan temperatur dalam *network* dapat dihitung kembali seprti pada gambar 3-4.



Gambar 3-4: Pemecahan *Loop*Sumber: B. Linnhoff, 1985

Nilai  $\Delta T$  pada ujung dingin match 2 kurang dari nilai yang diijinkan ( $\Delta T_{min} = 10^{\circ} C$ ). Temperatur sementara (yang salah) ditunjukkan dengan lingkaran putus-putus. Jadi akan terjadi penyimpangan  $\Delta T_{min}$  kemudian yang menjadi permasalahan adalah bagaimana  $\Delta T_{min}$  dapat dipulihkan kembali. Jawabannya ditunjukkan dalam gambar 3-5, yaitu dengan memanfaatkan "*Path*" melewati *network*.



Gambar 3-5: Desain Pengenduran Energi Sumber: B. Linnhoff, 1985

Path adalah sebuah sistem penghubung didalam heat exchanger network yang melewati aliran dan exchanger yang berada diantara hot utility dan cold utility. Path yang melewati network dalam gambar 3-5a tersebut digambarkan dalam bentuk titik-titik mulai dari heater sepanjang aliran 1 ke match 2 menembus match 2 menuju aliran 4 dan melintas sepanjang aliran 4 ke cooler.

Dengan menambah sebuah beban panas sebagai "X" ke heater kemudian dengan kesetimbangan entalpi beban pada *match* 2 harus dikurangi dengan "X" dan beban pada cooler bertambah sebesar "X". Dengan cara ini secara efektif telah memasukkan panas ekstra sebesar "X" menembus *network*. Dengan demikian beban pada *match* 2 harus dikurangkan dengan "X", sedang match 3 tidak dalam hubungan, sehingga bebannya berada berubah dengan operasi ini. Oleh karena itu temperatur pada cairan 1 pada sisi panas *match* 3 sisa 65°C, bagaimanapun juga pengurangan beban pada match 2 harus menaikkan temperatur T<sub>2</sub>. Inilah sesungguhnya yang diinginkan untuk memulihkan  $\Delta T_{min}$ . Jadi jelas terdapat hubungan sederhana antara "X" dan  $T_2$  adalah (120 - X) dibagi dengan CP aliran 4, sehingga didapat:

$$150^{\circ}C - \frac{(120 - X)}{1.5} = T_2$$

Logika yang sama juga dapat pula diterapkan untuk cooler.

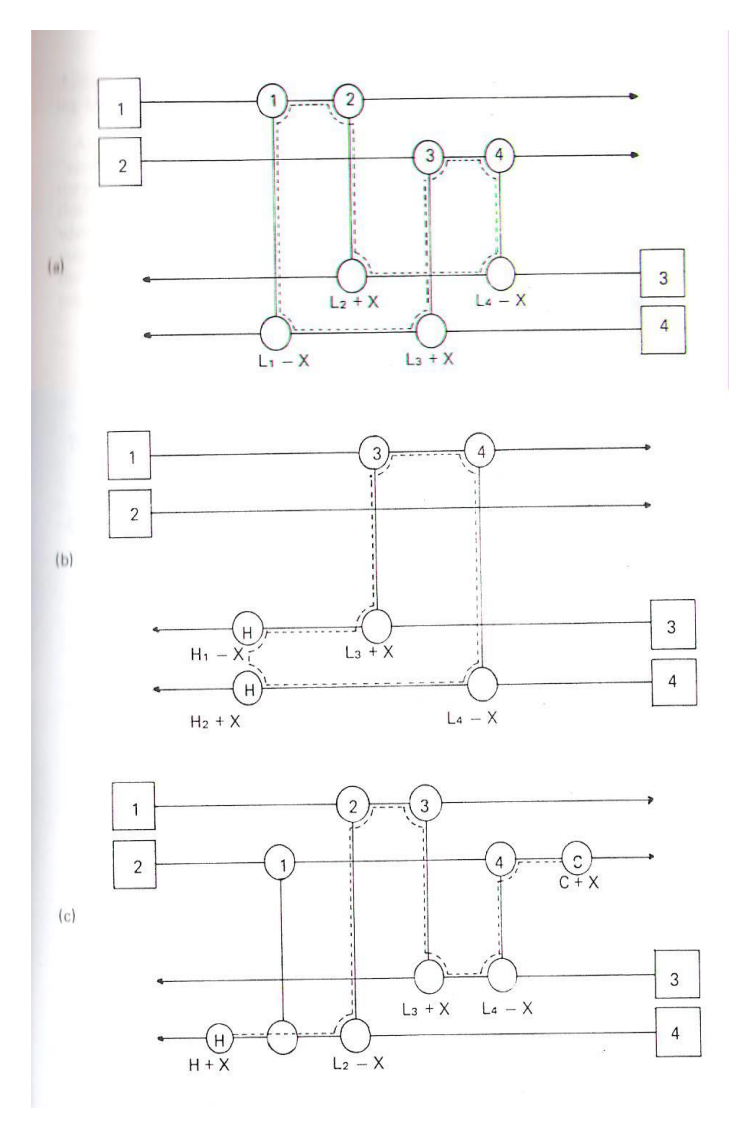
$$30^{\circ}C + \frac{(60+X)}{1.5} = T_2$$

Pada saat  $\Delta T_{min}$ = 10<sup>o</sup>C, T<sub>2</sub> akan dipulihkan sampai 75<sup>o</sup>C. Penyelesaian salah satu dari persamaan diatas dengan T<sub>2</sub> = 75°C akan menghasilkan X = 7.5 kW, dengan pulihnya  $\Delta T_{min}$ , 7.5 kW harus menjadi minimum energi vang dikorbankan untuk menghasilkan sebuah penyelesaian U<sub>min</sub> dari penyelesaian U<sub>min</sub>, MER. Penyelesaian desain dengan jumlah unit yang lebih sedikit ditunjukkan pada gambar 3-5b dimana temperatur antara heater dan match 2 pada aliran1 telah dihitung. Sebagai kesimpulan dari bahasan ini prosedur mengurangi adalah untuk unit dengan penambahan energi yang minimum antara lain:

- ◆ Identifikasi loop (yang menyeberangi pinch)
- Pecah loop tersebut dengan mengurangi dan menambahkan beban
- Hitung kembali temperatur network dan identifikasi penyimpangan ∆T<sub>min</sub>
- ◆ Temukan garis relaksasi dan rumuskan T = f(X)

- ♦ Pulihkan ∆T<sub>min</sub>
- Jika terjadi lebih dari satu loop dalam sistem, maka ulangi prosedur yang sama untuk loop-loop yang lain.

Gambar 3-6 mengilustrasikan beberapa aspek lain dari *loop. Loop* dalam gambar 3-6b adalah contoh sederhana yang hanya meliputi dua unit. Pada gambar 3-6c ditunjukkan salah satu *loop* yang lebih komplek, meliputi empat unit. Akan tetapi bagaimanapun juga *loop* tersebut dapat dipecah dengan cara yang sama seperti sebelumnya, yaitu dengan menambahkan dan mengurangi beban sejumlah "X" pada *match* yang menjadi alternatif disepanjang *loop*.



Gambar 3-6: *Loop* dan *Path* yang kompleks Sumber: B. Linnhoff, 1985

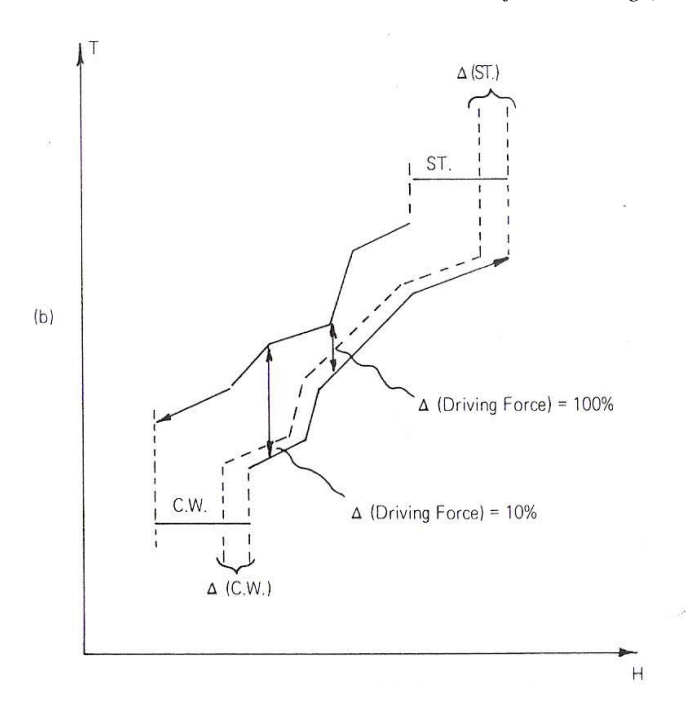
Pada gambar 3-6a, *loop* pecah ketika "X" menyamakan salah satu dari L<sub>1</sub> dan L<sub>4</sub>. Perlu diperhatikan bahwa penambahan dan pengurangan dapat dilakukan dalam berbagai cara, dimana dalam sistem ini *loop* juga akan pecah ketika "X" menyamakan salah satu dari L<sub>2</sub> atau L<sub>3</sub>.

Path yang kompleks ditunjukkan pada gambar 3-6c dan sekali lagi aliternatif penambahan dan pengurangan beban "X" dioperasikan dengan cara yang persis sama seperti pada path yang sederhana. Catat bahwa walaupun path melewati *match*1 pada contoh ini, namun *match* 1 bukan merupakan bagian dari path tersebut. Beban pada *match* 1 ini tidak berubah dengan adanya "energy relaxation" (yaitu energy recovery dalam pengurangan proses exchanger network dengan maksud penyederhanaan desain). Tetapi temperatur aliran 4 pada salah satu sisi berubah, ketika sebuah keadaan yang sama terjadi tanpa sebuah loop maka untuk exchanger yang tidak mengalami perubahan beban bisa saja terpengaruh. Oleh karena itu diperlukan perhitungan kembali semua temperatur setelah pemecahan loop.

#### 3.4. KETENTUAN ΔTmin

Sejauh ini dapatlah dengan mudah dikatakan bahwa terdapat korelasi antara  $\Delta T_{min}$  dan kebutuhan utiliti, serta dapat dengan mudah pula menentukan nilai  $\Delta T_{min}$ . Masalahnya sekarang adalah menemukan nilai ekonomis dari  $\Delta T_{min}$  dengan *trade off* antara energi terhadap biaya kapital.

Pengaruh  $\Delta T_{min}$  terhadap pemakaian energi diilustrasikan pada gambar 3-7 dimana sistem mempunyai sebuah *pinch* yang ramping. Merubah  $\Delta T_{min}$  akan mempunyai sejumlah besar effek yang dapat ditandai pada biaya kapital. Jika  $\Delta T_{min}$  ditingkatkan dua kali lipat dari 10OC menjadi 20OC, maka perubahan dalam *driving force* (tenaga penggerak) pada pinch 100%. Bagaimanapun juga pada bagian yang jauh dari pinch dimana terdapat *driving force* kenaikkannya hanya sebesar 100%.



Gambar 3-7: Pengaruh Nilai  $\Delta T_{min}$ 

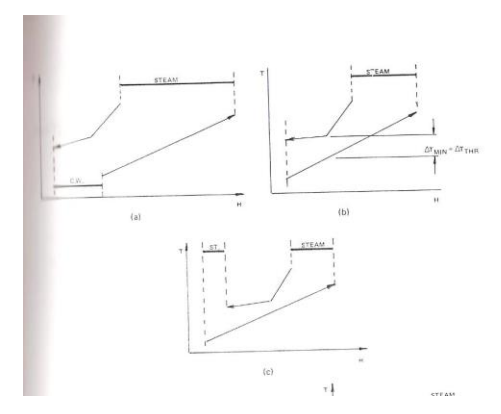
Sumber: B. Linnhoff, 1985

Hal ini mengahruskan adanya sebuah metode yang cepat untuk menemukan nilai  $\Delta T_{min}$  optimum. Dengan hanya memperhatikan desain dalam bagian *pinch* saja, maka dapat dihasilkan dengan metode desain *pinch*, dan diasumsikan bahwa perubahan dalam  $\Delta T_{min}$  mempengaruhi biaya desain *pinch* saja, sehingga biaya kapital dapat dioptimasikan terhadap biaya utiliti tanpa memperhatikan *network* secara lengkap.

Nilai  $\Delta T_{min}$  dapat dicari dengan menggunakan komposit kurva, tetapi dapat dicatat bahwa penggunaan *experience* value (nilai yang didapat dari pengalaman) dari  $\Delta T_{min}$  kadang-kadang cukup baik untuk *targetting* dan perencanaan pertama.

Dalam pembahasan *targetting energy* dan *composite curve* (gambar 3-8a) sepasang kurva komposit digambarkan relatif satu sama lain pada T-H diagram. Dimana *steam* dan *cooling water* keduanya dibutuhkan. Jika nilai  $\Delta T_{min}$  dikurangi dengan menggeser kurva secara bersamaan yang akan mencapai pada sebuah titik dimana salah satu utiliti hilang seperti pada gambar 3-8b.

Dalam kasus tersebut, kebutuhan cooling hilang, nilai  $\Delta T_{min}$  dalam keadaan ini dinamakan " $\Delta T_{threshold}$ ". Dimana threshold problem itu sendiri adalah problem heat recovey yang menunjukkan karakteristik dari kebutuhan salah satu hot utility saja atau hanya cold utility diatas range nilai  $\Delta T_{min}$  mulai dari nol meningkat sampai pada sebuah threshold.



Gambar 3-8: Threshold problem

Sumber: B. Linnhoff, 1985

Hal ini tidak menyebabkan perubahan lebih baik dalam kebutuhan utiliti. Sebagaimana yang telah dijelaskan sebelumnya untuk maksud praktis dapat digunakan "experience value"  $\Delta T_{min}$ , dimana untuk boiller house dapat mencapai  $50^{\circ}$ C, untuk proses heavy chemical umumnya adalah  $20^{\circ}$ C, dan untuk sistem refrigerasi adalah  $5^{\circ}$ C.

### BAB 4

# STRATEGI PERENCANAAN

# 4.1. PEMECAHAN ALIRAN (STREAM SPLITING)

Pada gambar 4-1, ditunjukkan sebuah set aliran bagian diatas *pinch*. Untuk desain MER, *utility cooling* tidak boleh

digunakan diatas *pinch* yang berarti bahwa semua aliran panas harus didinginkan sampai pada temperatur *pinch*. Pada gambar 4-1a, terdapat tiga aliran panas dan dua aliran dingin, tanpa melihat CP masing-masing aliran dapat diketahui bahwa salah satu dari aliran panas tidak dapat didinginkan dengan jalan *interchange*.

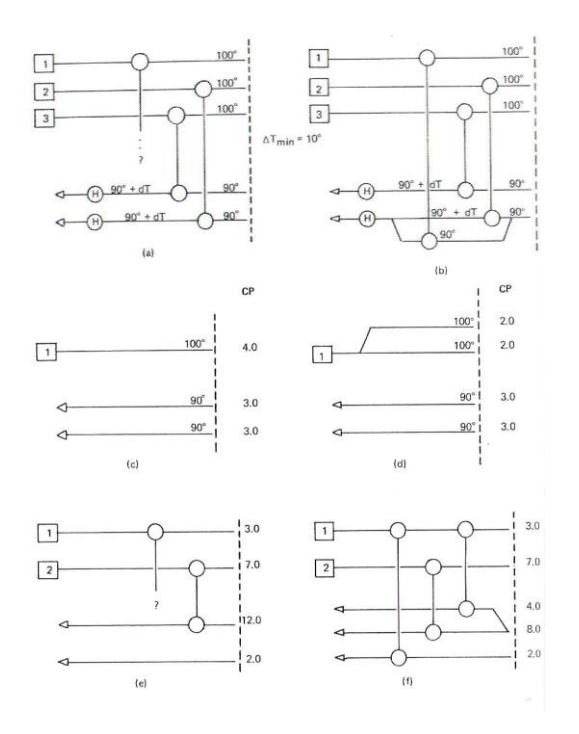
Jalan keluar satu-satunya dari keadaan ini adalah memecah sebuah aliran dingin menjadi dua sebagaimana ditunjukkan pada gambar 4-1b, dalam bentuk dua cabang paralel. Sekarang jumlah aliran dingin ditambah dengan aliran cabang sama dengan jumlah aliran panas. Sehingga semua aliran panas sekarang dapat didinginkan sampai pada temperatur pinch dengan menggunakan interchange. Oleh karena itu, dalam penjumlahan ke kriteria CP seperti yang dijelaskan sebelumnya, maka didapatkan kriteria feasibility "number count" (jumlah hitungan) dimana untuk bagian diatas pinch berlaku:

 $N_{HOT} \langle N_{COLD} \rangle$ 

dimana:

N<sub>HOT</sub> = Jumlah cabang-cabang aliran panas pada pinch (termasuk split stream)

N<sub>COLD</sub> = Jumlah cabang-cabang aliran dingin pada pinch (termasuk split stream)



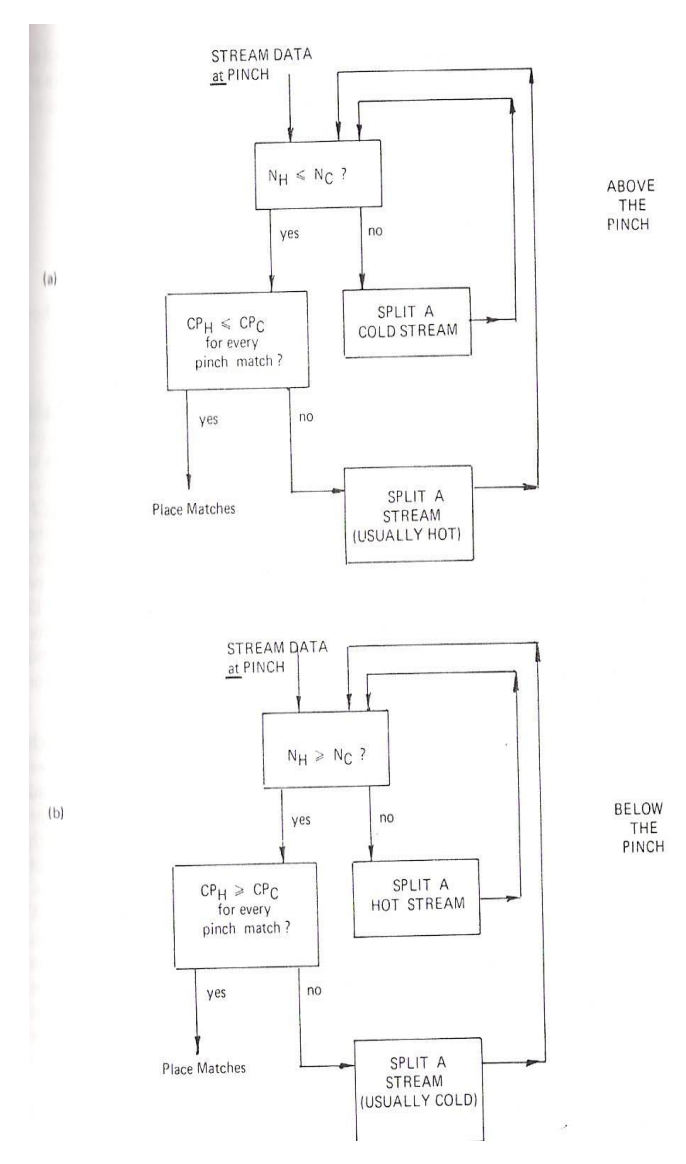
Gambar 4-1: Metode Pemecahan Aliran Sumber: B. Linnhoff, 1985

Pada gambar 4-1, kriteria *number count* terpenuhi dimana satu aliran panas terhadap dua aliran dingin, tetapi untuk kriteria CP diatas *pinch* adalah:

# CP<sub>HOT</sub> 〈 CP<sub>COLD</sub>

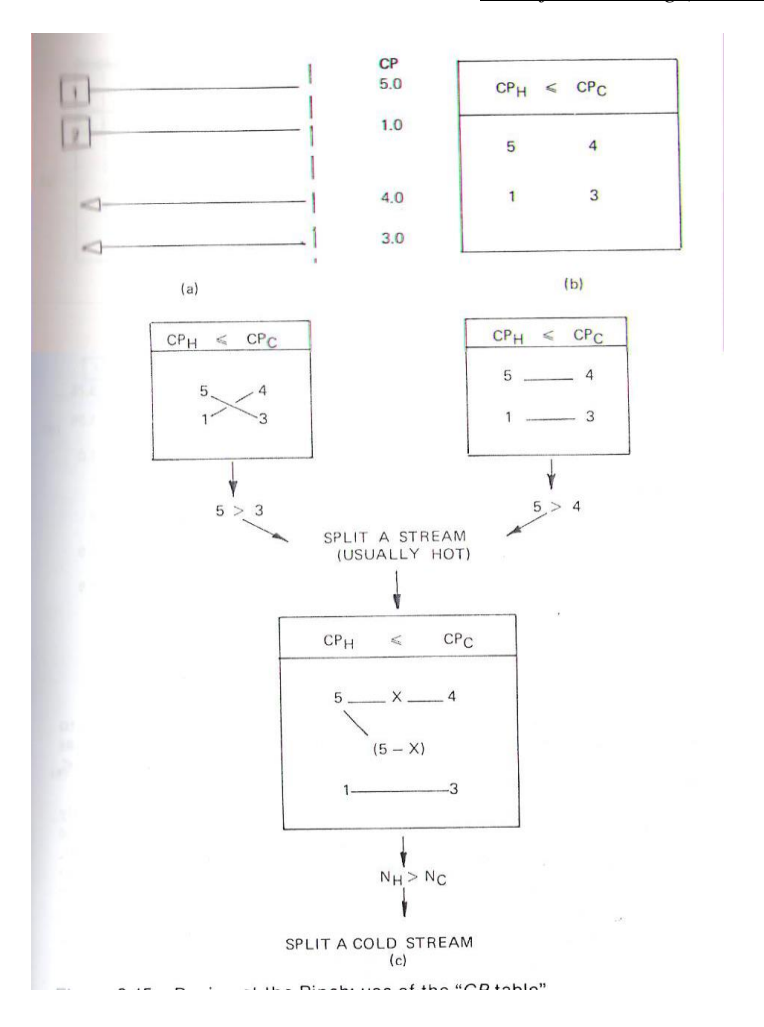
Dalam contoh ini penyelesaiannya adalah dengan membagi aliran panas sebagaimana ditunjukkan pada gambar 4-1d, tetapi kadang-kadang lebih baik memecah aliran dingin seperti pada gambar 4-1e dan 4-1f. Untuk gambar 4-1e, kriteria jumlah hitungan memenuhi, tetapi setelah diterapkan kriteria CP, *match* antara aliran panas dengan CP=7 dan aliran dingin dengan CP=2 memenuhi, sedangkan sisa aliran panas dengan CP=3.0 tidak bisa dibuat *match* dengan aliran dingin yang mempunyai CP=2.

Jika sekarang sebuah aliran panas akan dipecah, kriteria "number count" tidak akan memenuhi, sehingga sebuah aliran dinginlah yang harus dipecah, dan lebih baik memecah aliran dingin yang mempunyai CP besar (gambar 4-1f) yang menghasilkan penyelesaian dengan hanya satu pecahan.



Gambar 4-2: Diagram Alir Prosedur Pemecahan Aliran Sumber: B. Linnhoff, 1985

Prosedur secara bertahap untuk melakukan pemecahan aliran ditunjukkan pada gambar 4-2b untuk bagian dibawah pinch. Prosedur dalam gambar 4-2 diilustrasikan dalam contoh pada gambar 4-3. data aliran diatas pinch ditunjukkan dalam gambar 4-3a dan data CP ditabelkan dalam gambar 4-3b yang disebut *CP-Table*. CP aliran panas ditabulasikan pada kolom sebelah kiri dan CP aliran dingin pada kolom kanan, sementara itu kriteria CP yang relevan dicatatkan dalam kotak diatas tabel.

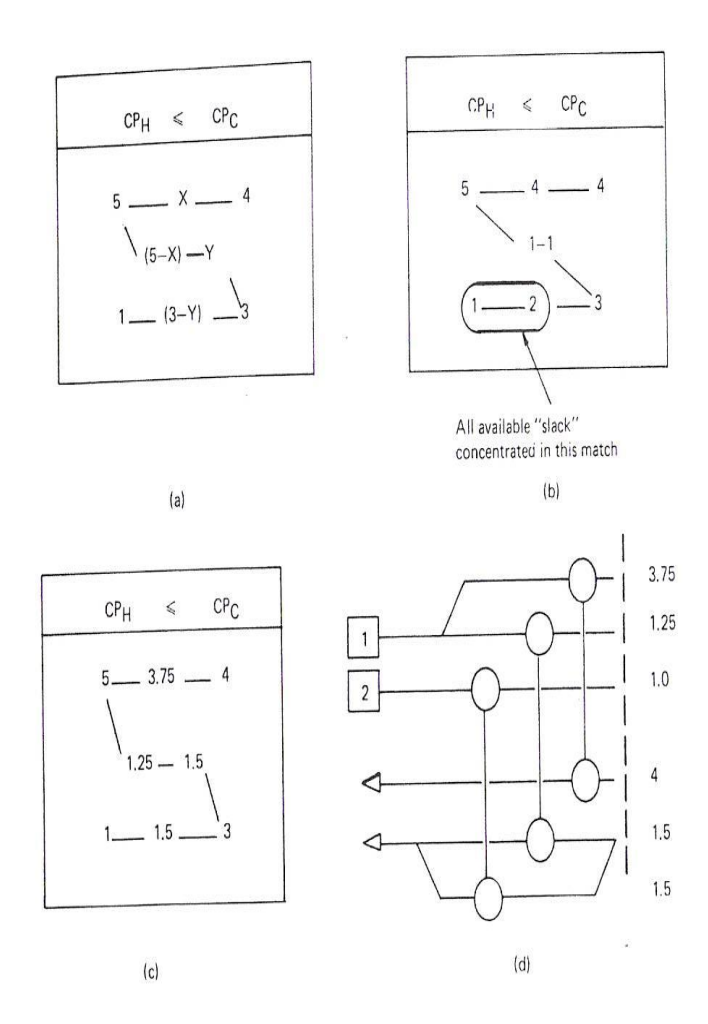


Gambar 4-3: Pemecahan Aliran Dengan Menggunakan Tabel CP

Sumber: B. Linnhoff, 1985

Terdapat dua kemungkinan cara untuk meletakkan aliranaliran dalam dua match sperti pada bagian atas gambar 4-3c.

Match dengan aliran panas CP=5 adalah tidak mungkin, oleh karena itu aliran ini harus dipecah kedalam cabangcabang dengan CP=X dan CP=5 – X seperti dalam tabel bagian bawah gambar 4-4c. Sekarang aliran panas dengan CP=X dan CP = 5 - X dapat pasangan, yaitu tidak memenuhi kriteria jumlah hitungan.



Gambar 4-4: Desain Setelah Pemecahan Aliran Sumber: B. Linnhoff, 1985

Oleh karena itu sebuah aliran dingin harus dipecah, salah satu dari yang mempunyai CP=4 atau CP=3. CP<sub>C</sub>= 3 di pecah kedalam dua cabang dengan CP=Y, dan CP<sub>C</sub>= 3-Y. Untuk mendapatkan nilai X dan Y, maka harus didapatkan persamaan CP dari semua *match*, sehingga pada gambar 4-4b didapatkan nilai X=4 dan Y=1, maka diperoleh desain akhir seperti pada gambar 4-4d.

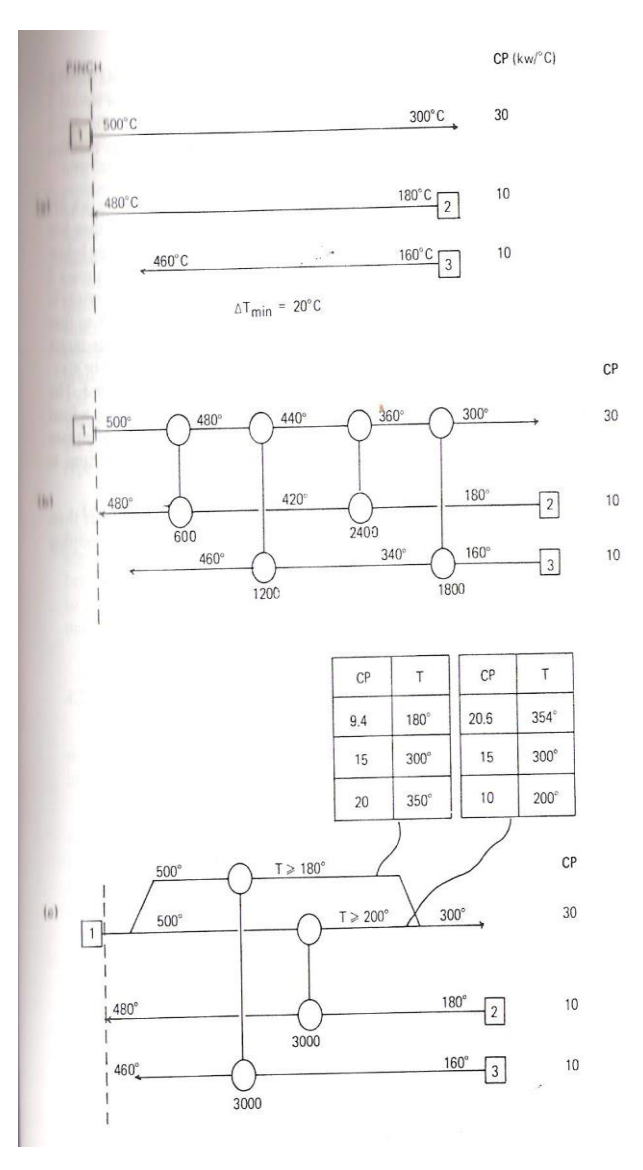
# 4.2. PERENCANAAN UNTUK DAERAH JAUH DARI PINCH

Perhatikan contoh yang ditunjukkan pada gambar 4-5a, analisa data aliran menunjukkan sebuah *pinch* terjadi pada temperatur suplai aliran 1 dan temperatur target aliran 2, serta tidak ada kebutuhan *hot utility* maupun *cold utility*. Jadi sistem tersebut sepenuhnya berada dibawah *pinch* dengan hanya satu *match pinch* yang memungkinkan, yaitu antara aliran 1 dan aliran 2. Ini merupakan *match* yang mungkin (CP<sub>Hot</sub> > CP<sub>Cold</sub>) tetapi jika beban dimaksimalkan untuk memanaskan aliran2 sampai temperatur target (dengan beban 3000 unit panas), maka setelah itu aliran 1 temperatur akan turun menjadi 400°C. Dengan demikian sisa panas yang masih tersedia tidak lagi cukup panas

untuk alirkan pada aliran 3 sampai pada temperatur target yaitu 460°C. Sedangkan proses pemanasan dengan heater dibawah *pinch* tidak diijinkan untuk penyelesaian sebuah desain MER.

Sebuah strategi alternatif ditunjukkan dalam gambar 405b, beban pada *match pinch* terbatas sampai 6000 kW, maka aliran1 masih meninggalkan cukup panas pada temperatur 480°C untuk diberikan pada aliran 3 sampai pada temperatur target. Bagaimanapun juga *match* berikutnya antara aliran 1 dan aliran 3 juga tidak bisa dimaksimalkan bebannya, karena pada kondisi tersebut aliran 2 harus dinaikkan sampai 420°C oleh aliran 1. Beban pada *match* kedua antara aliran 1 dan 2 harus dibatasi sehingga memungkinkan adanya *match* terakhir, yaitu antara aliran 1 dan aliran 3 untuk menyelesaikan desain MER ini.

#### Manajemen Energi(MS-6112)



Gambar 4-5: Perencanaan Jauh dari *Pinch*Sumber: B. Linnhoff, 1985

Fenomena ini menyebabkan pengulangan *match* pada pasangan aliran yang sama, ini dikenal dengan nama Cycling Matching. Cycling Matching selalu mengarah pada struktur-struktur yang mengandung loop dan oleh karena itu menyebabkan pemakaian unit yang melebihi jumlah minimum. Satu-satunya cara untuk menghindari Cycling Matching adalah menggunakan pemecahan aliran jauh dari pinch. Pada gambar 4-5c, aliran 1 yang termasuk besar dipecah kedalam dua cabang yang paralel dan masingmasing cabang dibuat match secara terpisah kesebuah aliran dingin. Dengan cara ini dapat mencegah fenomena pengulangan dari *match* tersebut sekarang dimaksimalkan dan sebuah desain MER dapat dihasilkan. Sebagai catatan, bahwa desain dengan pemecahan aliran unsur ke-fleksibelan pada perencanaan memberikan network.

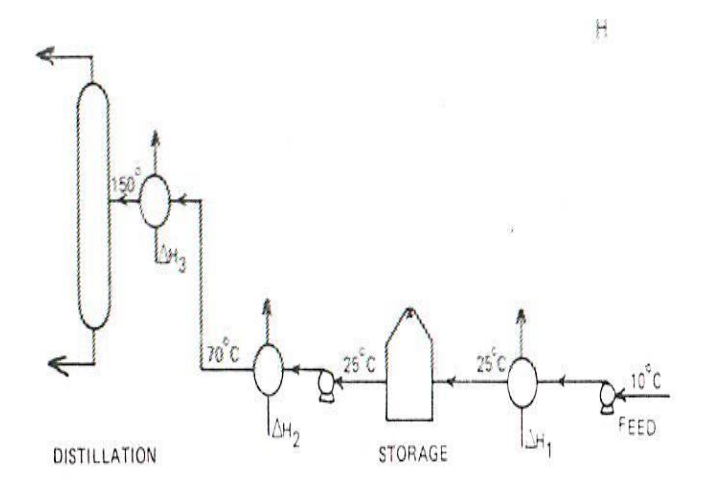
Laju massa aliran cabang dapat dipilih dengan penentuanpenentuan yang terbatas oleh temperatur suplai aliran dingin. Maka jika aliran cabang dibuat *match* terhadap aliran 3, maka aliran 3 didinginkan sampai 180°C (minimum yang diijinkan) dan akan mempunyai CP = 9,4 dan dengan keseimbangan massa CP dari cabang yang lain akan menjadi 20,6. CP = 20,6 dalam cabang tersebut dibuatkan *match* terhadap aliran 2 yang mengakibatkan temperatur keluaran pada cabang ini 354°C yang lebih tinggi dibandingkan dengan minimum yang digunakan (200°C). Argumen yang sama dapat diterapkan untuk menetapkan set yang lain dari limit-limit yang didasarkan pada temperatur suplai aliran 2. Cabang tersebut dibuat *match* dengan aliran 2 sehingga mempunyai CP = 20 dan temperatur keluaran 350°C. CP dari cabang dibuat *match* dengan aliran 3, oleh karenanya dapat bervariasi antara 9 – 4 dan 20 dengan batas-batas paralel pada cabang yang lain menjadi 20,8 dan 10. Hasil ini disimpulkan pada gambar 4-5c. Tipe ke-fleksibelan dalam desain *stream split* ini sangat berguna.

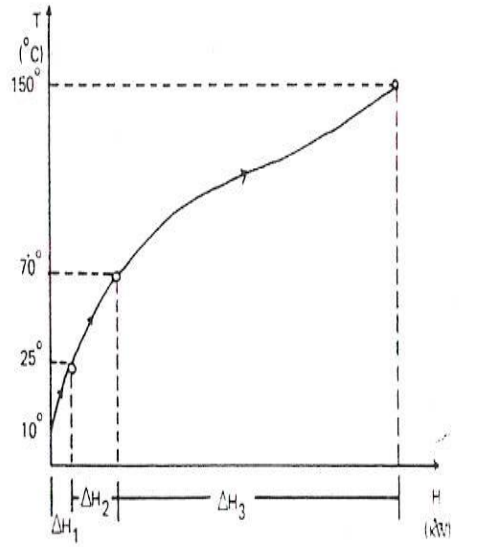
Sebagai kesimpulan, sewaktu-waktu desainer terjebak dalam kesulitan untuk menerapkan aturan *ticking-off*, untuk itu desainer harus berusaha menemukan sebuah desain *stream split* sebelum terpaksa menggunakan *cycling matching*. Bagaimanapun juga, *stream split* akan menambah ke-komplekkan pada *network* tetapi juga kefleksibelan, oleh karena itu jika dengan *non-stream split*, penyelesaian U<sub>min</sub> dapat ditemukan. Catatan, bahwa

stream splitting tidak dapat mengurangi jumlah dari unit dibawah nilai target.

#### 4.3. PEMILIHAN ALIRAN

Perhatikan aliran destilasi pada gambar 4-6, permasalahannya adalah berapa aliran yang harus digunakan untuk menggambarkannya. Andaikan tiga aliran diambil untuk menggambarkan yaitu satu dari 10°C ke 25°C, atau dari 25°C ke 70°C, dan satu lagi dari 70°C ke 150°C, maka tidak ada sesuatu yang baru untuk dapat memperbaiki desain tersebut.



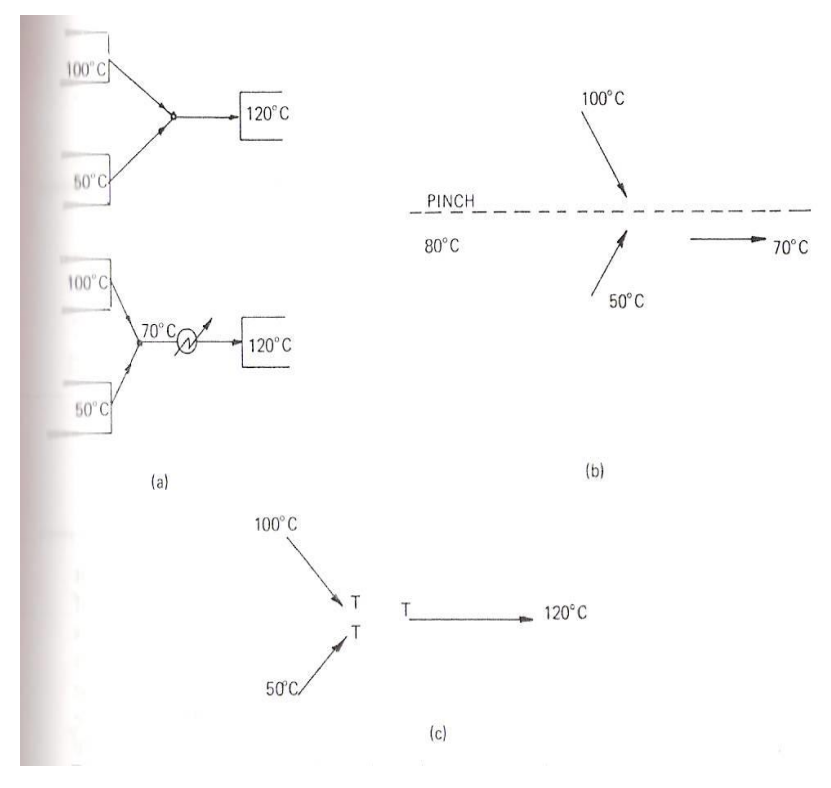


Gambar 4-6: Pemilihan Aliran Sumber: B. Linnhoff, 1985

Andaikan diambil dua aliran, dari 10°C ke 25°C. temperature storage dan dari 25°C ke 150°C vaitu sekarang temperatur masukan destilater. kesempatan untuk menemukan match yang berbeda dari desain semula dan memperbaiki desain, atau bahkan dapat hanya diambil satu aliran saja, yaitu dari temperatur 10°C ke temperatur 150°C, karena bagaimanapun juga temperature storage 25°C adalah mungkin temperatur kritis sehingga dapat dilewati. Jadi untuk dapat mulai mengidentifikasi energy recovery, maka diperlukan pula pemilihan aliran proses. Karena dengan begitu, maka akan terbuka kesempatan untuk memperbaiki desain, tetapi bagaimanapun juga dalam menentukan aliran perlu diperhatikan reaksi-reaksi yang terjadi didalam proses aliran, misalnya proses yang terjadi di dapur atau yang lainnya, untuk itu hal ini tidak dapat dilewati begitu saja.

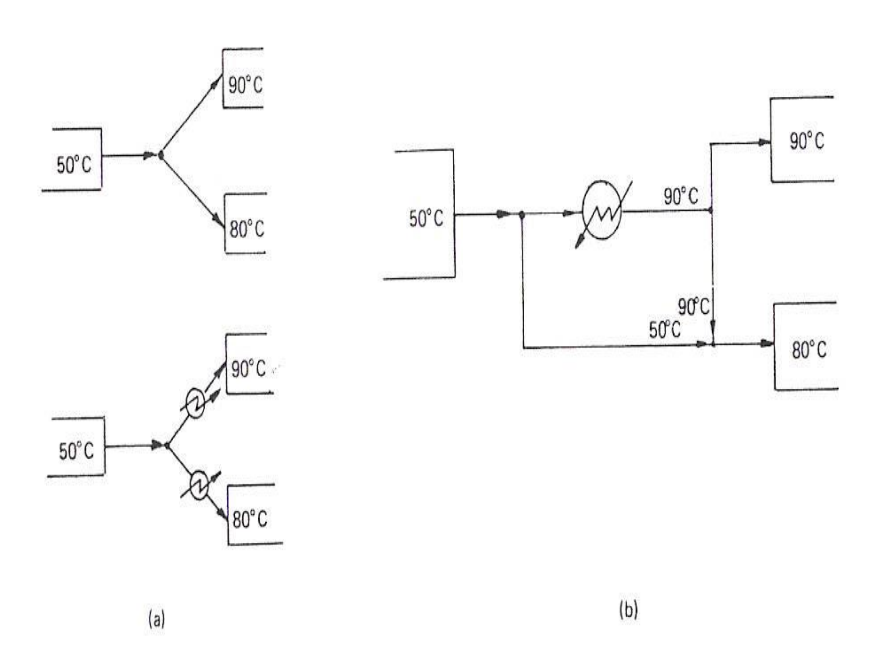
Kesulitan lain adalah untuk menentukan aliran yang terjadi pada *mixing* dan *splitting*. Gambar 4-6a menunjukkan dua aliran dingin yang keluar dari unit terpisah pada temperatur suplai berbeda kemudian bercampur (*mixing*) dan membutuhkan pemanasan sampai pada temperatur target. Sistem tersebut sebenarnya hanya satu aliran seperti pada

gambar 4-7a, oleh karenanya aliran tersebut dapat dipenuhi hanya oleh satu unit, maka *mixing* harus diasumsikan isotermal seperti pada gambar 4-7c.



Gambar 4-7: Penentuan Aliran *Mixing*Sumber: B. Linnhoff, 1985

Untuk pemecahan aliran dimana aliran cabangnya mempunyai temperatur target yang berbeda dan keduanya tidak akan tergabung lagi, diilustrasikan pada gambar 4-8.



Gambar 4-8: Penentuan Aliran *Splitting*Sumber: B. Linnhoff, 1985

Dalam sistem seperti itu, dua unit dibutuhkan karena adanya perbedaan tempearatur target, karena itu targetting biaya kapital sistem digambarkan oleh dua aliran. Begitu juga untuk targetting energi, dua temperatur target yang berbeda berarti dua aliran. Bagaimanapun juga hal tersebut dapat dhindarkan dengan jalan by passing dan mixing seperti digambarkan pada gambar 4-8b, dimana desain unit kedua diganti dengan by mixing junction.

#### **SOAL LATIHAN**

Soal 1:

Suatu PLTU mempunyai konfigurasi Penukar Kalor dengan jaringan aliran-aliran sebagai berikut :

| Nomor  | Jenis  | T <sub>suplai</sub> | T <sub>target</sub> | m       | ср     | СР                   |
|--------|--------|---------------------|---------------------|---------|--------|----------------------|
| Aliran | Aliran | T <sub>s</sub> (    | T <sub>t</sub> (    | (Kj/Kg) | (Kj/Kg | (Kw/ <sup>O</sup> C) |
|        |        | °C)                 | °C)                 |         | °C)    |                      |
| 1      | Panas  | 538                 | 180                 | 189     | 1,996  | 377,244              |
| 2      | Dingin | 283                 | 317                 | 189     | 5,021  | 948,969              |
| 3      | Dingin | 249                 | 283                 | 189     | 4,296  | 811,944              |
| 4      | Panas  | 498                 | 41                  | 138     | 1,985  | 274,500              |
| 5      | Dingin | 142                 | 276                 | 138     | 4,295  | 592,700              |

Diketahui, 
$$\Delta T_{min} = 20$$
  $^{O}C$   $\Rightarrow \frac{1}{2}$   $\Delta T_{min} = 10$   $^{O}C$ 

- Tentukan Temperatur Pinch dengan cara Problem Table
- 2. Rencanakan MER (Maksimum Energy recovery) untuk jaringan tersebut diatas.

Soal 2: Suatu PLTU mempunyai konfigurasi Penukar Kalor dengan jaringan aliran-aliran sebagai berikut :

| Nomor  | Jenis  | T <sub>suplai</sub>             | T <sub>target</sub> | m       | ср     | СР                   |
|--------|--------|---------------------------------|---------------------|---------|--------|----------------------|
| Aliran | Aliran | T <sub>s</sub> ( <sup>o</sup> C | T <sub>t</sub> (    | (Kj/Kg) | (Kj/Kg | (Kw/ <sup>o</sup> C) |
|        |        | )                               | °C)                 |         | °C)    |                      |
| 1      | Panas  | 538                             | 180                 | 189     | 1,996  | 377,244              |
| 2      | Dingin | 283                             | 317                 | 189     | 5,021  | 948,969              |
| 3      | Dingin | 249                             | 283                 | 189     | 4,296  | 811,944              |
| 4      | Dingin | 218                             | 249                 | 189     | 4,231  | 799,659              |
| 5      | Dingin | 317                             | 538                 | 189     | 5,705  | 1.078,245            |
| 6      | Dingin | 280                             | 538                 | 145     | 5,023  | 728,000              |
| 7      | Panas  | 498                             | 41                  | 138     | 1,985  | 274,500              |
| 8      | Dingin | 142                             | 276                 | 138     | 4,295  | 592,700              |
| 9      | Dingin | 108                             | 142                 | 138     | 4,216  | 581,800              |
| 10     | Dingin | 74                              | 108                 | 138     | 4,192  | 578,500              |
| 11     | Dingin | 41                              | 74                  | 108     | 4,208  | 454,500              |

Diketahui, 
$$\Delta T_{min} = 20$$
  $^{O}C$   $\Rightarrow \frac{1}{2}$   $\Delta T_{min} = 10$   $^{O}C$ 

- Tentukan Temperatur Pinch dengan cara Problem Table
- 2. Rencanakan MER (Maksimum Energy recovery) untuk jaringan tersebut diatas.

3. Rencanakan MER dengan jumlah Minimum Unit dengan cara Looping/Pathing.

## Soal 3:

Suatu instalasi uap PLTU dengan siklus tertutup mempunyai data-data sbb:

- Nilai pembakaran bahan bakar
  - = 10.500 BTU/lb
- Temperatur pembakaran adiabatis

$$= 3600 \, ^{\circ} F$$

Kerugian panas pada furnace

• Perbandingan massa Flue Gas: Bahan Bakar

$$= 18:1$$

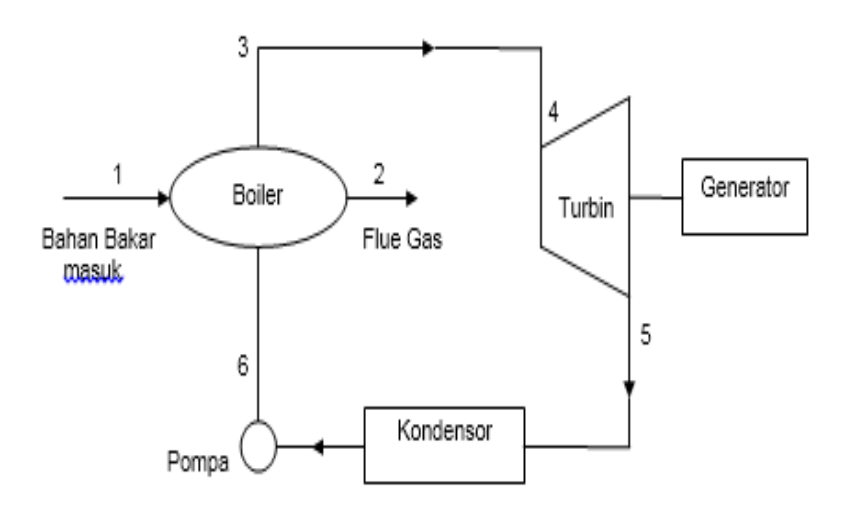
Perbandingan massa Uap : massa Bahan Bakar

Steam Pressure (tekanan uap)

• Pressure Drop Boiler ke Turbin

Effisiensi Turbin

 Kondisi pembanding adalah cairan dengan temperatur 70 <sup>O</sup>F dan tekanan 0,36 Psia dengan enthalpy = 38 BTU/lb dan entropy = 0.0745 BTU/lb $^{\circ}$ R



# Tabel kondisi Operasi dari instalasi :

| Titik | Temp. | Tekanan | Enthalpy | Entropy                 | Exergy  |
|-------|-------|---------|----------|-------------------------|---------|
| TILIK | (°F)  | (Psia)  | (BTU/lb) | (BTU/lb <sup>O</sup> F) | (BTU/lb |
|       |       |         |          |                         | BB)     |
| 1     | 3.600 |         |          |                         |         |
|       |       | 15,2    | 10.500   |                         | 10.500  |
| 2     |       |         |          |                         |         |
|       |       |         |          |                         | 9.100   |
| 3     |       | 1.500   |          | 1,7112                  |         |
|       | 950   |         | 1.562    |                         | 5.230   |
| 4     |       | 1.350   |          | 1,6212                  |         |
|       | 935   |         | 1.553    |                         | 5.150   |
| 5     |       |         |          | 1,850                   |         |
|       | 92    | 0,7     | 985      |                         | 200     |
| 6     |       |         |          | 0,15                    |         |
|       | 92    | 0,7     | 60       |                         | 10      |

# Buatlah:

- 1) Analisis Neraca Panas Konvensional Instalasi Tab.
- 2) Analisa Exergy selengkap-lengkapnya Instalasi Tab.

# **DAFTAR PUSTAKA**

Ahern, John E., 1980. "The Exergy Method of Energy System Analysis", New York: John Wiley and Sons Inc.

B. Linnhoff., 1985. "A User Guide on Process Integration for the Efficient Use of Energy", England: The Institution of Chemical Engineers.

Rao, Y.V.C., 1993. "An Introduction to Thermodynamics", New Delhi: Wiley Eastern Limited.